

สำนักหอสมุด มหาวิทยาลัยบูรพา
ต.แสนสุข อ.เมือง จ.ชลบุรี 20131



รายงานฉบับสมบูรณ์ปีที่ 3

ความหลากหลายทางพันธุกรรมของปูบางชนิดที่พบบริเวณพื้นที่
ปกปักษ์พันธุกรรมพืชทางทะเล หมู่เกาะแม่สาร จังหวัดชลบุรี

Genetic diversity of shrimp, crab and Mantis in
the Samae-sarn Islands, Chon Buri Province

โดย วันศุกร์ เสนานาญ และนงนุช ตั้งเกริกโภพ
ภาควิชาาริชศาสตร์ คณะวิทยาศาสตร์ มหาวิทยาลัยบูรพา

๔๐๑ ๘๐๖ ๐๔

เริ่มนับ

๒๓ ก.ย. ๒๕๕๘

357721

๕๗ ก.ย. ๒๕๕๙

ทุนอุดหนุนการวิจัยงบประมาณเงินรายได้ (เงินอุดหนุนรัฐบาล)
ปีงบประมาณ 2556

อภินันทนาการ

บทคัดย่อ

แม้ว่าการจัดจำแนกโดยใช้ลักษณะภายนอก (morphology) ยังมีความจำเป็นในการแยกชนิดสิ่งมีชีวิต และเป็นวิธีมาตรฐานที่นักอนุกรมวิธานใช้ทั่วโลก แต่เครื่องมือดังกล่าวก็มีข้อจำกัดในบางกรณี เนื่องจากบางลักษณะที่ใช้แยกจีนี้ส หรือสปีชีส์อาจไม่ได้สะท้อนถึงความสัมพันธ์ทางวิวัฒนาการ หรือมีความคาดการณ์ของลักษณะในกลุ่มอนุกรมวิธานที่ต่างกัน การศึกษานี้จึงได้ศึกษาความหลากหลายของปู และกุ้งน้ำเค็ม 4 กลุ่มชนิด คือกลุ่มปูใบ *Leptodius exaratus*, ปูม้าหิน *Thalamita* spp., ปูลม *Ocypode ceratophthalmus* และกุ้งดีดขันสกุล *Alpheus* ที่พบบริเวณหมู่เกาะแสมสารโดยใช้ลำดับนิวคลีโอไทด์บางส่วนของยีน COI และ 16S rRNA บันทึกรายการและ Histone H3 บนนิวคลียส ซึ่งในปีที่ 3 ของการวิจัย เน้นการวิเคราะห์ชนิดพันธุ์ที่มีความทางอนุกรมวิธานที่ชัดเจน

ขนาดสายนิวคลีโอไทด์ของยีน COI ที่ใช้วิเคราะห์ (หลังจากการจัดเรียงนิวคลีโอไทด์) ในการศึกษารั้งนี้ มีความยาวทั้งสิ้น 623 (ปูลม) - 686 (ปูใบ) คู่เบส และสายนิวคลีโอไทด์ของยีน 16S rRNA มีความยาวทั้งสิ้น 516 (กุ้งดีดขัน) - 542 (ปูม้าหิน) คู่เบส ในขณะที่ยีน Histone H3 ที่วิเคราะห์มีความยาว 297 (ปูลม) - 349 (ปูใบ) ในตัวอย่างกุ้งปูทุกชนิด ยีน COI มีระดับความแปรปรวนมากที่สุด และยีน Histone H3 มีความแปรปรวนต่ำสุด

จากการวิเคราะห์ลำดับนิวคลีโอไทด์ทั้งสามตำแหน่ง กลุ่มตัวอย่างที่รวมมาจากหมู่เกาะแสมสารที่ประกอบไปด้วยสัตว์สปีชีส์เดียว ได้แก่กลุ่มปูใบที่มีสีและลายบนลำด้าแตกต่างกัน ปูลมที่มีลักษณะตาไม่เหมือนกัน และ *Thalamita pryma/danae* ในกรณีปูม้าหิน *Thalamita* ที่รวมมาจากหมู่เกาะแสมสารน่าจะเป็นชนิด *T. danae* อย่างไรก็ตาม เพื่อยืนยันข้อสังเกตนี้ จึงควรมีการเพิ่มตัวอย่างกลุ่มตัวอย่างที่คาดว่าจะเป็นปูทั้งสองชนิดนี้จากแหล่งอื่นๆในประเทศไทยด้วยข้อมูลที่ได้เป็นพื้นฐานสำหรับการศึกษาทางชีววิทยา และนิเวศวิทยาของปูม้าหินสกุล *Thalamita* ต่อไป

การศึกษาลำดับนิวคลีโอไทด์บางส่วนของยีน 16S rRNA ของกุ้งดีดขันสกุล *Alpheus* จำนวน 3 สปีชีส์ ที่เก็บได้จากบริเวณชายฝั่งทะเลและท่าเทียบเรือประมงในบางพื้นที่ของจังหวัดชลบุรีซึ่งพบว่ายีน 16S rRNA ขนาดประมาณ 493 คู่เบส สามารถจัดตัวอย่างชนิดเดียวกันอยู่ในกลุ่มเดียวกันได้ชัดเจน (Bootstrap = 99-100%) โดยเมื่อพิจารณาจากค่าระยะห่างทางพันธุกรรมแล้ว *Alpheus* sp. น่าจะเป็นชนิดที่แตกต่างจาก *A. rapacida* และ *A. serenie* (ค่าระยะห่างทางพันธุกรรมเท่ากับ 0.03 และ 0.18-0.19 ตามลำดับ) นอกจากนี้แผนภูมิทางวิวัฒนาการยังแสดงว่า *A. rapacida*, *Alpheus* sp., และ *A. distinguendus*, มีความใกล้ชิดกันทางวิวัฒนาการ ในขณะที่ *A. serenie*, *Alpheus aff. Euphrosyne*, *A. microrhynchus* แบ่งกลุ่มออกจากกลุ่มนี้อย่างชัดเจน ข้อมูลที่ได้เป็นพื้นฐานสำหรับการศึกษาทางชีววิทยา และนิเวศวิทยาของกุ้งดีดขันสกุล *Alpheus* ต่อไป

Abstract

Although morphological characters are essential for taxonomic classification, the variation in some characters may not reflect evolutionary relationships among taxa due to convergent evolution. Also, morphological species identification may be challenging when diagnostic characters are highly variable. Molecular information can be very informative especially when using in a combination with morphological examination. This study, therefore, utilized nucleotide sequence analyses to resolve some taxonomic uncertainties for crustaceans found on a marine protected area, the Samae-sarn Islands, Chon Buri province. We focused on four taxonomic groups: (1) *Leptodius exaratus* (individuals with variation on body color and pattern), (2) swimming crab species (*Thamita danae* and *T. prymna* with only few obscure diagnostic characters), (3) Ghost crab (*Ocypode ceratophthalmus*), and (4) snapping shrimp (*Alpheus spp.*) We analyzed partial sequences of mitochondrial Cytochrome Oxidase subunit I (COI) and 16S rRNA genes and a nuclear Histone H3 gene.

DNA fragment sizes ranged from 623 – 686 bp for COI, 493-542 bp for 16S rRNA and 297-349 bp for Histone H3 gene. COI and 16S rRNA sequences were more informative than those of Histone H3 gene. Histone H3 sequences were least variable.

Taxonomic groups consting of only one species included *Leptodius exaratus* (despite the different color patterns), ghost crab (*Ocypode ceratophthalmus*) swimming crab (*Thalamita prymna/danae*). For the Thalamita spp., the Samae-sarn samples are likely *T. danae*. However, this observation needs to be confirmed with cross-examination of specimens from other areas of Thailand and from other parts of the world.

Based on partial sequences of 16S rRNA genes (493 bp), the three *Alpheus* snapping shrimp morphospecies from coastal areas of Chon Buri province were genetically distinct. *Alpheus* spp. belonged to a monophyletic group and the phylogenetic analysis assigned species according to their morphological identification (bootstrap value = 99-100%). Genetic distances and phylogenetic trees suggested genetic differentiation between *Alpheus* sp. and two other species, *A. rapacida* and *A. serenie* (Genetic distances = 0.03 and 0.18-0.19 respectively). In addition, phylogetic analyses suggested at least two clusters consisting of (1) *A. rapacida*, *Alpheus* sp., and *A. distinguendus* and (2) *A. serenie*, *Alpheus* aff. *Euphrosyne* and *A. microrhynchus*. Insights gained from this study can further facilitate the ecological studies of snapping shrimp in Thailand and South East Asian region.

สารบัญ

หน้า	
ก	บทคัดย่อ
ข	Abstract
ค	สารบัญ
ง	สารบัญภาพ
จ	สารบัญตาราง
ฉ	กิตติกรรมประกาศ
1	บทนำ
2	วัตถุประสงค์ของโครงการวิจัย
3	วิธีการศึกษา
10	ผลการศึกษา
31	อภิรายผลการศึกษา
36	สรุปผลการศึกษา
37	เอกสารอ้างอิง

สารบัญภาพ

	หน้า
ภาพที่ 1 แผนที่ พื้นที่ปักปักพันธุกรรมพืชทางทะเล หมู่เกาะแสมสารและเกาะใกล้เคียง อำเภอสัตหีบ จังหวัดชลบุรี	3
ภาพที่ 2 ลักษณะภายนอกของปู และกุ้งน้ำเค็มเต็มวัยบางชนิด ที่จะรวมในการศึกษาในครั้งนี้	5
ภาพที่ 3 แผนภูมิแสดงความสัมพันธ์ทางวิวัฒนาการของปูม้าหิน <i>Thalamita</i> ที่สร้างด้วยใช้วิธีการ Maximum Likelihood	16
ภาพที่ 4 แผนภูมิแสดงความสัมพันธ์ทางวิวัฒนาการของปูม้าหิน <i>Thalamita</i> ที่สร้างด้วยใช้วิธีการ Minimum Evolution	18
ภาพที่ 5 แผนภูมิแสดงความสัมพันธ์ทางวิวัฒนาการของปูลม ที่สร้างด้วยใช้วิธีการ Maximum Likelihood	24
ภาพที่ 6 แผนภูมิแสดงความสัมพันธ์ทางวิวัฒนาการของปูลม ที่สร้างด้วยใช้วิธีการ Minimum Evolution	25
ภาพที่ 7 แผนภูมิแสดงความสัมพันธ์ทางวิวัฒนาการของกุ้งดีดขัน <i>Alpheus</i> ที่สร้างด้วยใช้วิธีการ Maximum Likelihood	30
ภาพที่ 8 แผนภูมิแสดงความสัมพันธ์ทางวิวัฒนาการของกุ้งดีดขัน <i>Alpheus</i> ที่สร้างด้วยใช้วิธีการ Minimum Evolution	31
ภาพที่ 9 รูปร่างลักษณะภายนอกที่สังเกตได้ของปูม้าหิน <i>Thalamita danae</i>	33
ภาพที่ 10 รูปร่างลักษณะภายนอกที่สังเกตได้ของปูม้าหิน <i>Thalamita prymna</i>	34

สารบัญตาราง

	หน้า
ตารางที่ 1 ชนิดของปูที่ใช้ในการศึกษาในครั้งนี้	4
ตารางที่ 2 รายละเอียดของไฟรเมอร์ พร้อมรายละเอียดของอุณหภูมิที่ไฟรเมอร์ เกาะกับดีเย็น เอตันแบบ (annealing temperature) ที่ทดสอบในการศึกษาในครั้งนี้	8
ตารางที่ 3 ความหลากหลายทางพันธุกรรม และข้อมูลสถิติของลำดับนิวคลีโอไทด์ของตัวอย่างปูใบ <i>Leptodius exaratus</i> ที่รวบรวมจากหมู่เกาะแสมสาร	10
ตารางที่ 4 ความหลากหลายทางพันธุกรรม และข้อมูลสถิติของลำดับนิวคลีโอไทด์ของตัวอย่าง ปูม้าหิน <i>Thalamita</i> spp. ที่รวบรวมจากหมู่เกาะแสมสาร	11
ตารางที่ 5 ระดับความเหมือน (% identity) ของลำดับนิวคลีโอไทด์ของปูม้าหินสกุล <i>Thalamita</i> ที่รวบรวมจากเกาะแสมสาร จังหวัดชลบุรี เมื่อเทียบกับข้อมูลที่มีรายงานในฐานข้อมูล GenBank	12
ตารางที่ 6 ค่าความแตกต่างทางพันธุกรรมระหว่างตัวอย่างปูม้าหิน <i>Thalamita</i>	14
ตารางที่ 7 ความหลากหลายทางพันธุกรรมและข้อมูลสถิติของลำดับนิวคลีโอไทด์ของตัวอย่างปูลม คือ <i>Ocypode ceratophthalmus</i> ที่รวบรวมจากหมู่เกาะแสมสาร	19
ตารางที่ 8 ระดับความเหมือน (% identity) ของลำดับนิวคลีโอไทด์ของปูลมตากขาว <i>Ocypode ceratophthalmus</i> ที่รวบรวมจากเกาะแสมสาร จังหวัดชลบุรี	20
ตารางที่ 9 ค่าระยะห่างทางพันธุกรรมระหว่างตัวอย่างปูลม	22
ตารางที่ 10 ความหลากหลายทางพันธุกรรม และข้อมูลสถิติของลำดับนิวคลีโอไทด์ของยีน 16S rRNA ของตัวอย่างกุ้งดีดขันสกุล <i>Alpheus</i> ที่รวบรวมจากจังหวัดชลบุรี	26
ตารางที่ 11 ระดับความเหมือน (% identity) ของลำดับนิวคลีโอไทด์บริเวณ 16S rRNA ของกุ้งดีดขัน <i>Alpheus</i> spp. ที่รวบรวมจากเกาะแสมสาร จังหวัดชลบุรี	26
ตารางที่ 12 ระยะห่างทางพันธุกรรมระหว่างตัวอย่างกุ้งดีดขัน <i>Alpheus</i>	32
ตารางที่ 13 ค่าระยะห่างทางพันธุกรรม K2P ภายในชนิดเดียวกัน ระหว่างสปีชีส์ในจีนัสเดียวกัน และระหว่างสกุลในแฟมili เดียวกันของยีน COI ใน การศึกษาครั้งนี้ และงานวิจัยที่เกี่ยวข้อง	35
ตารางที่ 14 ค่าระยะห่างทางพันธุกรรม ภายในสปีชีส์เดียวกัน ระหว่างสปีชีส์ในจีนัสเดียวกัน และระหว่างสกุลในแฟมili เดียวกันของยีน 16S rRNA ใน การศึกษาครั้งนี้ และงานวิจัยที่เกี่ยวข้อง	35

กิตติกรรมประกาศ

โครงการ ความหลากหลายทางพันธุกรรมของกุ้ง ปูและกั้ง ที่พบบริเวณพื้นที่ปากปักพันธุกรรมพีชทางทะเล หมู่เกาะแสมสาร จังหวัดชลบุรี ในปีที่ 3 ได้สำเร็จลุล่วงลงไป ด้วยความร่วมมือจากหลายฝ่าย และการสนับสนุนของหน่วยงานต่างๆ รวมถึงนิสิตระดับปริญญาตรี และโทของภาควิชา วาริชศาสตร์

ขอขอบคุณโครงการอนุรักษ์พันธุกรรมพีชอันเนื่องมาจากพระราชดำริสมเด็จพระเทพรัตนราชสุดาฯ สำนักงานคณะกรรมการวิจัยแห่งชาติ และ หน่วยสงเคราะห์พิเศษทางเรือ กองเรือยุทธการ ที่สนับสนุนงบประมาณ และความช่วยเหลืออื่นๆ ขณะออกเก็บตัวอย่าง ภาควิชาварิชศาสตร์ คณะวิทยาศาสตร์ และสถาบันวิทยาศาสตร์ทางทะเล ที่อนุเคราะห์เครื่องมือในการเก็บตัวอย่าง และอนุเคราะห์สถานที่ในการวิเคราะห์ตัวอย่าง

ขอขอบคุณ คุณชวัญเรือน ศรีนัย สถาบันวิทยาศาสตร์ทางทะเล ใน การช่วยเก็บตัวอย่าง และคุณชุมชน สารจิตตากาฬผู้ช่วยวิจัยของโครงการฯ ภาควิชาварิชศาสตร์ คณะวิทยาศาสตร์ ใน การช่วยวิเคราะห์ตัวอย่าง นอกจากนี้งานบางส่วนของโครงการวิจัยนี้ยังเป็นปัญหาพิเศษของนางสาว อิงอร เฮงพัฒนาพงศ์ และนายวันฉัตร ผลพิมาย นิสิตระดับปริญญาตรี ภาควิชาварิชศาสตร์ ซึ่ง ทางผู้วิจัยขอขอบคุณนิสิตทั้งสองท่านที่ทำให้งานมีคุณค่ามากขึ้น

บทนำ

ประเทศไทยตั้งอยู่ในเขต้อนชีน และมีสภาพทางภูมิศาสตร์ที่เอื้อให้มีความหลากหลายทางชีวภาพสูง ซึ่งรวมถึงทรัพยากรทางทะเล ประเทศไทยน่าจะมีสิ่งมีชีวิตอยู่ประมาณ 124,003 ชนิด หรือร้อยละ 8.9 ของสิ่งมีชีวิตอยู่ในโลกทั้งหมด ซึ่งรวมถึงชนิดพันธุ์ที่ทราบชื่อแล้ว และที่ยังไม่พบ (วิสุทธิ์ ใบเมี้ย, 2548) อย่างไรก็ตาม กิจกรรมของมนุษย์กำลังคุกคามความหลากหลายทางชีวภาพ ดังกล่าว ซึ่งเปรียบเสมือนต้นทุนทางทรัพยากรของประเทศไทย ดังนั้นด้วยสายพระเนตรกว้างและยาวไกล พระบาทสมเด็จพระเจ้าอยู่หัวทรงเห็นถึงความสำคัญของการอนุรักษ์พันธุกรรมพืช โดยทรงเริ่มดำเนินงานพัฒนาและอนุรักษ์ทรัพยากรธรรมชาติ และความหลากหลายทางชีวภาพ ตั้งแต่ปี 2503 เป็นต้นมา โดยมีพระราชดำริให้ดำเนินการสำรวจรวมปักกุดแลรักษาพรรณพืชต่างๆ ที่หายากและกำลังจะหมด ต่อมาในปี พ.ศ. 2535 สมเด็จพระเทพรัตนราชสุดาฯ สยามบรมราชกุมารี ได้ทรงประสานพระราชปณิธานต่อโดยมีพระราชดำริ กับนายแก้ววัฒน์ วัชโกรัช เลขาธิการพระราชวัง ให้ดำเนินการอนุรักษ์พืชพรรณของประเทศไทยให้คงการส่วนพระองค์ฯ สรุนวิตรลดา เป็นผู้ดำเนินการจัดสร้างธนาคารพืชพรรณขึ้น ตั้งแต่ปี พ.ศ. 2536 เป็นต้นมา

สัตว์กลุ่มกุ้ง ปู และกุ้งนับเป็นสัตว์ที่มีคุณค่าทางเศรษฐกิจ (กรมประมง, 2544) และสำคัญต่อระบบนิเวศน์ โดยเป็นส่วนหนึ่งของห่วงโซ่ออาหาร โดยเฉพาะอย่างยิ่งกุ้ง ปู และกุ้งขนาดเล็ก อย่างไรก็ตามการจัดจำแนกหมวดหมู่ของกุ้ง ปู และกุ้งยังมีความสับสนอยู่มาก และมีการปรับเปลี่ยนการเรียกชื่อยุ่งเสเมอ อีกทั้งยังมีสัตว์ชนิดใหม่ๆ ที่เพิ่งจะถูกค้นพบ จึงมีความจำเป็นที่จะต้องมีการรวบรวมและเรียบเรียงให้การจัดหมวดหมู่สัตว์กลุ่มนี้ไปในทิศทางเดียวกัน แม้ว่าการจัดจำแนกโดยใช้ลักษณะภายนอก (morphology) จะมีความจำเป็นในการแยกชนิดสิ่งมีชีวิต และเป็นวิธีมาตรฐานที่นักอนุรักษ์วิธานใช้ทั่วโลก แต่เครื่องมือดังกล่าวก็มีข้อจำกัดในบางกรณี เนื่องจากบางลักษณะที่ใช้แยกจีนส์ หรือสปีชีส์อาจไม่ได้สะท้อนถึงความสัมพันธ์ทางวิวัฒนาการ ปัจจุบันจึงมีการพัฒนาเครื่องมือใหม่ๆ ในระดับดีอีกเช่นเดียวกัน เพื่อช่วยในการจัดจำแนกและจัดลำดับความสัมพันธ์ทางวิวัฒนาการของสัตว์กลุ่มกุ้ง ปู และกุ้งทะเล (เช่น Kim and Abele, 1990; Tudge and Cunningham, 2002; Schubart et al., 2006) นอกจากนี้ประชาคมวิทยาศาสตร์ระดับโลก ได้เลิ่งเห็นความจำเป็นในการพัฒนาฐานข้อมูลดีอีกของสิ่งมีชีวิตประเภทต่างๆ ที่ผ่านการทดสอบและเทียบความถูกต้อง (verify) กับตัวอย่างอ้างอิง (voucher specimen) เพื่อให้การจำแนกชนิดเป็นไปอย่างรวดเร็ว สำหรับการใช้งานที่อาจจะหาผู้เชี่ยวชาญได้ยาก เช่น การตรวจสอบชนิดพืชและสัตว์ที่นำเข้า หรือ การคัดกรองศัตรูพืช หรือ เชือกอ่โตรค (เช่น Consortium on the barcode of life; <http://www.barcoding.si.edu/>)

จากการศึกษาในปีที่ผ่านมา พบรข้อมูลที่น่าสนใจหลายประดีน ซึ่งรวมถึงความยุ่งยากของ การแยกปูและกุ้งบางชนิด เนื่องจากสัณฐานมีความแตกต่างกันเพียงเล็กน้อย (เช่นปูม้าหิน หรือกุ้งตีดขัน) หรือปูที่มีความแปรปรวนของลักษณะรูปแบบสีลำตัว ที่จัดอยู่ในสปีชีส์เดียวกัน (เช่นปูใบ) หรือความแปรปรวนของลักษณะสัณฐานอันเนื่องมาจากการวัยของสัตว์น้ำ ดังนั้นการศึกษาในปีที่ 3 นี้จึงจะเน้นการวิเคราะห์ดีอีกของปูและกุ้งกลุ่มที่มีประเด็นปัญหาทางอนุรักษ์วิธานที่เด่นชัด และการวิเคราะห์ทางสัณฐานควบคู่กันไป โดยจะใช้ลำดับนิวคลีโอไทด์ของยีนของหัวบันไม้โตกอนเดรีย และจากในนิวเคลียส เนื่องจากยืนแต่ละประเทศมีระดับความแปรปรวนที่เหมาะสมต่อการ

ตรวจสอบชนิด ทั้งนี้ยืนบันไม่โടค่อนเดรียดีอีนเอ มักมีอัตราการเกิดการแทนที่นิวคลีโอไทด์สูงกว่า ดีอีนเอในนิวเคลียส (ประมาณ 5-10 เท่า) ไม่มีการรวมยืนหรือการแลกเปลี่ยนสารพันธุกรรม (Recombination) และมีการถ่ายทอดสารพันธุกรรมจากแม่สู่ลูก (Avise, 2004) ซึ่งต่างจากยืนในนิวเคลียสที่มี recombination และ ถ่ายทอดสู่รุ่นลูกจากทั้งทางพ่อและแม่

วัตถุประสงค์ของโครงการวิจัยปีที่ 3

1. พัฒนาเครื่องมือทางชีวโมเลกุลในการแยกชนิดกุ้ง ปู และกุ้ง ที่พบบริเวณเกาะแสมสาร เกาะแรด เกาะช้างเกลือ และเกาะขาม อำเภอสัตหีบ จังหวัดชลบุรี
2. พัฒนาฐานข้อมูลพันธุกรรมระดับชนิดของ กุ้ง ปู และกุ้งที่พบบริเวณเกาะแสมสาร เกาะแรด เกาะช้างเกลือ และเกาะขาม อำเภอสัตหีบ จังหวัดชลบุรี
3. วิเคราะห์ความสัมพันธ์ทางวิวัฒนาการของบางกลุ่มอนุกรมวิธานของกุ้ง ปู และกุ้งที่พบบริเวณเกาะแสมสาร เกาะแรด เกาะช้างเกลือ และเกาะขาม อำเภอสัตหีบ จังหวัดชลบุรี โดยใช้ลำดับ นิวคลีโอไทด์ของยืนบันไม่โടค่อนเดรีย และยืนในนิวเคลียส

ขอบเขตของโครงการวิจัย

ตัวอย่าง

รวบรวมตัวอย่าง กุ้ง ปู และ กุ้งจาก บริเวณเกาะแสมสาร เกาะแรด เกาะช้างเกลือ และ เกาะขาม อำเภอสัตหีบ จังหวัดชลบุรี โดยจะประสานงานกับการเก็บ และจำแนกชนิดตัวอย่างกับ โครงการย่อย ความหลากหลายทางชีวภาพของกุ้ง ปู และ กุ้ง บริเวณเกาะแสมสาร เกาะแรด เกาะช้างเกลือ และเกาะขาม อำเภอสัตหีบ จังหวัดชลบุรี

จำนวนตัวอย่าง

สำหรับการแยกชนิดโดยสัณฐาน และเครื่องหมายพันธุกรรม จะใช้ตัวอย่าง สปีชีส์ละ ประมาณ 4 ตัวอย่าง โดยในปีงบประมาณ 2556 ตั้งเป้าหมายจะวิเคราะห์ความหลากหลายทางพันธุกรรมของ ปูที่มีประเด็นทางอนุกรมวิธาน ได้แก่กลุ่มปูใบ ปูม้าหิน ปูลมและกุ้งดีดขัน

ประเภทของเครื่องหมายพันธุกรรม

เครื่องหมายพันธุกรรมคือ สารพันธุกรรมที่ใช้บ่งชี้ความแตกต่างทางพันธุกรรมระดับต่างๆ เช่น ระหว่าง จีนส สปีชีส ประชากร และ ครอบครัว การศึกษานี้จะใช้เครื่องหมายพันธุกรรม 2 ประเภทคือ ยืนบันไม่โടค่อนเดรียดีอีนเอ 2 ยืน ได้แก่ ยืน 16S rRNA และ Cytochrome Oxidase subunit I (COI) และยืนที่อยู่ในนิวเคลียส 1 ยืน เช่นยืน Histone H3 เนื่องจากยืนเหล่านี้มีระดับของการกลایพันธุ์เหมาะสมสำหรับการแยกจีนส และสปีชีสสำหรับสัตว์กลุ่มกุ้ง ปู และ กุ้ง ทั้งนี้จะใช้เพรเมอร์สำหรับการเพิ่มดีอีนเอของปูที่มีการตีพิมพ์แล้ว

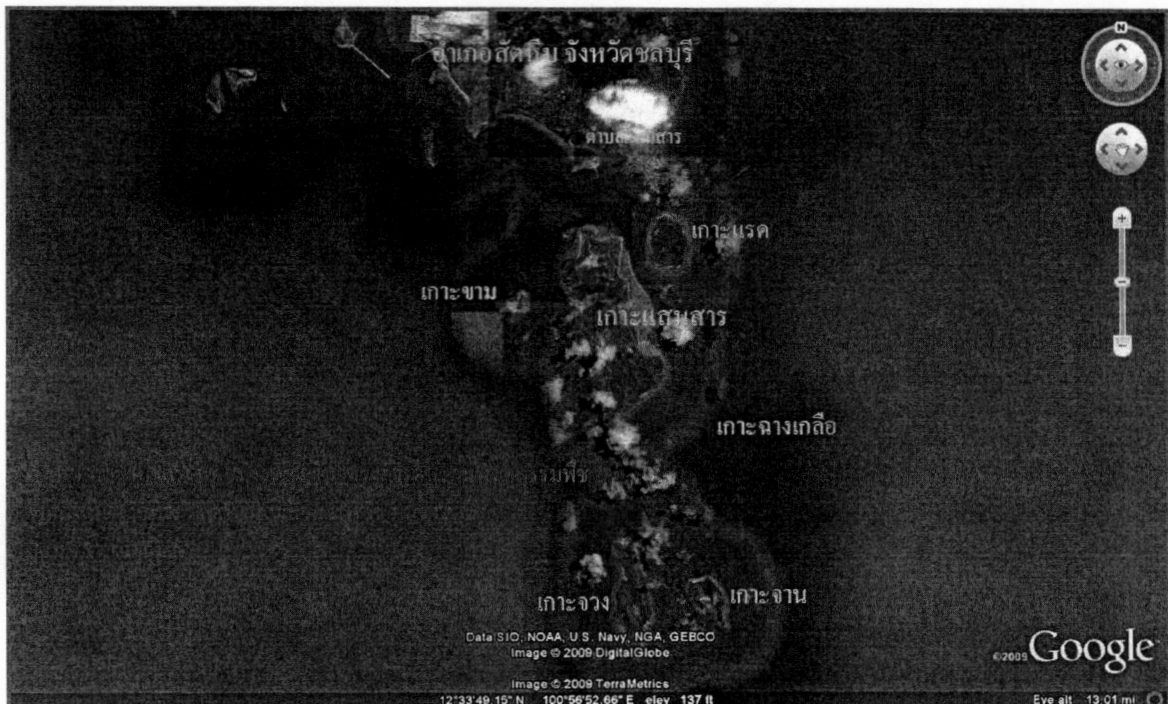
โจทย์วิจัย

1. ปูใบบีบงชี้ว่าเป็น Leptodius exaratus ที่มีสีสันและลวดลายลำตัวต่างกัน เป็นต่างสปีชีสกัน หรือไม่
2. ปูม้าหิน Thalamita ที่คาดว่าเป็น T. danae และ T. prymna ที่บ่งชี้ลักษณะจากสัณฐาน ภายนอก (ซึ่งใกล้กันมาก) มีความสัมพันธ์ทางวิวัฒนาการอย่างไร
3. ปูลม Ocypode ที่พบที่หมู่เกาะแสมสารมีมากกว่า 1 ชนิดหรือไม่
4. กุ้งดีดขัน Alpheus ที่ยังไม่สามารถแยกชนิดได้ เป็นสปีชีสเดียวกับกุ้งดีดขันสปีชีสอื่นๆ ที่ รวบรวมได้จากที่ต่างๆ ในจังหวัดชลบุรีหรือไม่

วิธีการศึกษา

การรวมรวมตัวอย่าง

รวบรวมตัวอย่างกุ้ง ปู และกุ้งจากบริเวณเกาะแม่สาร เกาะแรด เกาะจางเกลือ และเกาะขาม อำเภอสัตหีบ จังหวัดชลบุรี โดยจะใช้ตัวอย่างที่จัดจำแนกชนิดด้วยสันฐาน จากโครงการย่อย ความหลากหลายทางชีวภาพของกุ้ง ปู และ กุ้ง บริเวณเกาะแม่สาร เกาะแรด เกาะจางเกลือ และ เกาะขาม อำเภอสัตหีบ จังหวัดชลบุรี เก็บรักษาตัวอย่างด้วยแอลกอฮอล์ 95%



ภาพที่ 1 แผนที่ พื้นที่ปกปักษันธุกรรมพืชทางทะเล เกาะแม่สารและเกาะใกล้เคียง อำเภอสัตหีบ จังหวัดชลบุรี (จากแผนการวิจัย ทรัพยากรชีวภาพทางทะเลในพื้นที่ปกปักษันธุกรรมพืชทางทะเล หมู่เกาะแม่สาร จังหวัดชลบุรี : องค์ความรู้ผันสูวิถีไทยและการใช้ประโยชน์อย่างยั่งยืน)

ตัวอย่างที่สร้างข้อมูลรายพิมพ์ได้อีกหนึ่งสำหรับแผนการในปีที่ 3 ได้แก่ปู และกุ้งน้ำเค็มที่มีประเด็นด้านอนุกรมวิธาน (ภาพที่ 2) ซึ่งรวมถึงปูใบ (*Leptodius exaratus*) ปูม้าหินสกุล *Thalamita* (*T. prymna* และ *T. danae*) ปูลม (*Ocypode spp.*) และกุ้งดีดขัน (*Alpheus spp.*) (ภาพที่ 2) ซึ่งเป็นตัวอย่างที่พบที่แม่สาร และพบที่ท่าเรืออ่างศิลา (สำหรับปูลม) โดยตัวอย่างที่ใช้วิเคราะห์มีจำนวนกลุ่มละ 8-10 ตัวอย่าง (ถ้าสามารถแยกเป็นชิ้นเบื้องต้นได้ จะใช้ตัวอย่างอย่างน้อยสี่ชิ้นละ 4 ตัวอย่าง)

นอกเหนือจากตัวอย่างที่เก็บรวบรวมจากหมู่เกาะแม่สารแล้ว การศึกษานี้ยังได้วิเคราะห์ตัวอย่าง นิวคลีโอไทด์ของปูน้ำเค็มและกุ้งดีดขันจากฐานข้อมูล GenBank (ตารางที่ 1) ข้อมูลนิวคลีโอไทด์จากฐานข้อมูล GenBank ประกอบไปด้วย ปูในสกุล *Thalamita*, *Charybdis*, *Scylla*, *Ocypode* และปูจา gwang วงศ์ Varunidae 1 ชนิดคือ *Gaetice depressus* (HM180588.1) นอกจากนี้ยังได้รวมกุ้งดีดขันสกุล *Alpheus* อีกหลายชนิด

ตารางที่ 1 รหัสและชื่อตัวอย่างปูน้ำเค็มที่รวบรวมจากหมู่เกาะแสมสารที่ใช้ศึกษาในครั้งนี้ และตัวอย่างนิวคลีโอไทด์ของยีน COI, 16S rRNA และยีน Histone H3 ของปูใบ ปูม้าหิน ปูลม กุ้งดีดขัน และปูชนิดอื่นในฐานข้อมูล GenBank โดยชื่อวิทยาศาสตร์ที่ปรากฏสำหรับตัวอย่างที่รวบรวมจากหมู่เกาะแสมสารที่มีการระบุชนิดโดยใช้ลักษณะสัณฐาน

รหัสตัวอย่าง	ชื่อวิทยาศาสตร์ (ที่แยกเบื้องต้นจากสัณฐาน)	GenBank Accession No.	ยีน
ปูใบ			
Leex	<i>Leptodius exaratus</i>		COI, 16S, H3
ปูม้าหิน			
Thsp	<i>Thalamita prymna</i>	-	COI, 16S, H3
Thda	<i>Thalamita danae</i>	-	COI, 16S, H3
	<i>Thalamita sima</i> <i>Thalamita crenata</i> <i>Thalamita admete</i> <i>Thalamita prymna</i> <i>Charybdis hellerii</i> <i>Charybdis variegate</i> <i>Charybdis japonica</i> <i>Charybdis feriatus</i> <i>Scylla serrata</i> <i>Gaetice depressus</i>	JX502946.1 JX398104.1 JQ180240.1 JX398103.1 JX123454.1 EU284142.1 EU586120.1 EU284140.1 KF612462.1 HM180588.1	COI
	<i>Thalamita danae</i> <i>Thalamita crenata</i> <i>Charybdis japonica</i> <i>Charybdis feriata</i> <i>Thalamita sima</i>	FJ152165.1 LK391945.1 FJ460517.1 546355162 FJ152166.1	16S
ปูลม			
Occe	<i>Ocypode ceratophthalmus</i>		COI, 16S, H3
	<i>Ocypode ceratophthalmus</i> <i>Ocypode platytarsis</i> <i>Ocypode stimpsoni</i> <i>Ocypode mortoni</i> <i>Ocypode sinensis</i>	AB751382.1 KF633178.1 JX502934.1 AB751388.1 AB751392.1	COI
	<i>Ocypode ryderii</i> <i>Ocypode quadrata</i> <i>Ocypode ceratophthalmus</i> <i>Ucides cordatus</i> <i>Uca rapax</i>	AM180689.1 FN539018.1 LN611669.1 FN539019.1 B813665.1	16S

ตารางที่ 1 (ต่อ)

รหัสตัวอย่าง	ชื่อวิทยาศาสตร์ (ที่แยกเบื้องต้นจากสัณฐาน)	GenBank Accession No.	ยืน
กุ้งดีดขัน			
Alse	<i>Alpheus serenie</i>		16S
Alra	<i>A. rapacida</i>		16S
Alsp	<i>Alpheus sp.</i>		16S
	<i>Alpheus distinguendus</i>	GQ892049.1	16S
	<i>Alpheus buckupi</i>	JX286604.1	
	<i>Alpheus chacei</i>	JX286606.1	
	<i>Alpheus petronioi</i>	KF667545.1	
	<i>Alpheus pontederiae</i>	KF667547.1	
	<i>Alpheus microrhynchus</i>	JX286612.1	
	<i>Alpheus aff. euphrosyne</i>	JX286609.1	
	<i>Alpheus heterochaelis</i>	AF501647.1, JX286610.1	
	<i>Alpheus estuariensis</i>	JX286608.1	
	<i>Alpheus scopulus</i>	FJ528446.1	
	<i>Alpheus hyeyoungae</i>	FJ528479.1	
	<i>Alpheus lobidens</i>	JX286611.1	
	<i>Alpheus armillatus</i>	FJ528475.1	
	<i>Alpheus tenuis</i>	AF501648.1	
	<i>Alpheus cf. armillatus</i>	DQ682861.1	

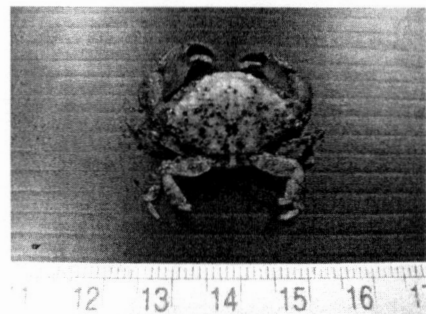
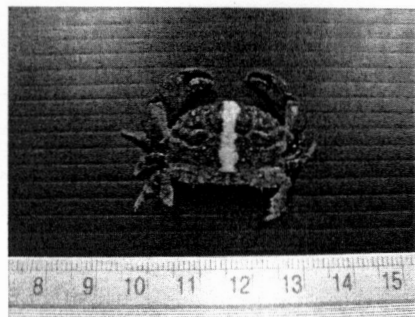


Thalamita danae Stimpson, 1858
(ก)



Thalamita prymna (Herbst, 1794)
(ข)

ภาพที่ 2 ลักษณะภายนอกของปู และกุ้งน้ำเค็มเต็มวัยบางชนิด ที่จะรวมในการศึกษาในครั้งนี้ (ก) – (ข) เป็นกลุ่มปูม้าหิน (ก) – (ก) เป็นปูใบหิน (ข) – (ข) เป็นปูลม (ก) – (ก) เป็นกุ้งดีดขัน (ภาพถ่ายจาก ผศ. ดร. นงนุช ตั้งเกริกโวหาร)



บູໄບ

Leptodius exaratus (H. Milne Edwards, 1834)

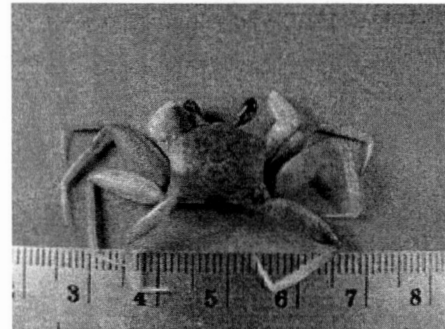
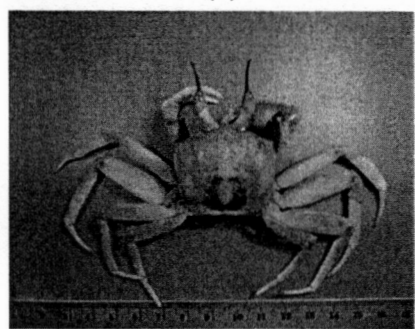
(គ)



บູໄບ

Leptodius exaratus (H. Milne Edwards, 1834)

(ຈ)

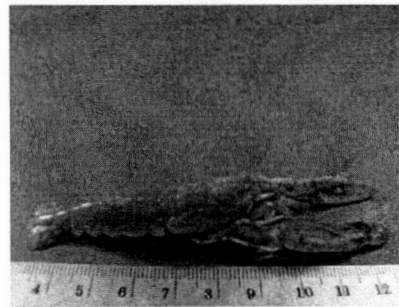
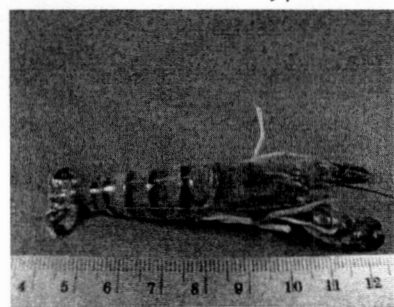


(ຂ)

(ດ)

ປຸລມຕາຍາ ບູຜີ

Ocypode ceratophthalmus (Pallas, 1772)



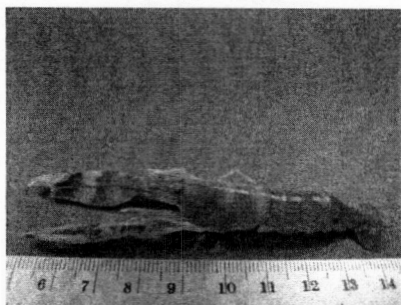
ກັງຕື່ດົນ

Alpheus serenei Tiwari, 1963

(ພ)

Alpheus rapacida de Man, 1908

(ຜ)



กุ้งดีดขัน *Alpheus sp.* (ภู)

ภาพที่ 2 (ต่อ)

การวิเคราะห์ในห้องปฏิบัติการ

การวิเคราะห์ในห้องปฏิบัติการจะประกอบไปด้วย (1) การสกัด DNA จากเนื้อยื่อของตัวอย่างปู และกุ้งดีดขัน (2) การเพิ่มจำนวนดีเอ็นเอเป้าหมาย โดยปฏิกิริยาลูกโซ่ หรือพีซีอาร์ (polymerase chain reaction; PCR) (3) การตรวจสอบผลผลิตพีซีอาร์ โดยใช้เทคนิคเจลอะลูมิโนฟอร์มาทริซ (gel electrophoresis) ซึ่งจะแยกดีเอ็นเอที่มีน้ำหนักโมเลกุลที่ต่างกัน โดยใช้กระเเสไฟฟ้า และตรวจการปรากฏของแถบดีเอ็นเอเป้าหมายด้วยการย้อมเจลในสารละลาย ethidium bromide (4) การทำความสะอาดผลผลิตพีซีอาร์เพื่อการวิเคราะห์ลำดับนิวคลีโอไทด์

สกัดดีเอ็นเอ

สกัดดีเอ็นเอจากเนื้อยื่อที่เก็บรักษาในแอลกอฮอล์ 95% ด้วยวิธีการสกัดมาตรฐาน Salt extraction (อธิบายไว้ใน Aljanabi and Martinez 1997) หรือใช้ชุดสกัดดีเอ็นเอสำเร็จรูป (RBC BioScience Corp, Taiwan) ตามวิธีการที่แนะนำของผู้ผลิตและ เก็บรักษาดีเอ็นเอที่สกัดแล้วด้วยสารละลาย TE (10mM Tris, 0.1mM EDTA, pH 8.0) หรือน้ำประจាខอก้อน

ดีเอ็นเอด้วยวิธี Salt extraction ที่ดัดแปลงจากวิธีของ Aljanabi & Martinez (1997) วิธีการโดยสังเขปดังนี้คือ นำเนื้อยื่อของปูมาหิน Mataดและบดละเอียดให้มีขนาดเล็กประมาณ 2 มิลลิเมตร ใส่ลงในหลอดทดลอง Microcentrifuge tube ขนาด 1.5 ml ที่มี Lysis buffer (10 mM Tris HCl pH 8.0, 2 mM EDTA pH 8.0, 2% SDS, 0.4 M NaCl) และ Proteinase K (20 mg/ml) เพื่อทำการย่อยโปรตีโนอกจากเนื้อยื่อและบ่มสารละลายที่ได้ด้วยเครื่องปรับอุณหภูมิตัวยาน้ำที่ 55 องศาเซลเซียส เป็นเวลา 12 ชั่วโมง หลังจากนั้นตกรอกอนโดยเติม 6 M NaCl และตกรอกอนดีเอ็นเอโดยเติม Isopropanol 100% ล้างตะกรอนดีเอ็นเอด้วย Ethanol 70%

เพิ่มดีเอ็นเอเป้าหมายด้วยเทคนิคพีซีอาร์

เพิ่มปริมาณดีเอ็นเอโดยอาศัยการทำงานของเอนไซม์ DNA polymerase และการเปลี่ยนแปลงอุณหภูมิ (ปฏิกิริยาลูกโซ่; PCR) ใน 1 ปฏิกิริยา (50 μl) จะใช้ส่วนผสมดังนี้ คือ ดีเอ็นเอต้นแบบประมาณ 10-100 pg บัฟเฟอร์ความเข้มข้น 1 เท่า (เจือจากสารละลายบัฟเฟอร์ความเข้มข้น 10 เท่า) นิวคลีโอไทด์ไตรฟอฟอสเฟต(dNTPs) ความเข้มข้นทั้ง 4 เบส 1 mM แมกนิเชียมคลอไรด์($MgCl_2$) ความเข้มข้น 1.5 mM ไพรเมอร์แต่ละสาย ที่ความเข้มข้น 0.2 μM และ *Taq* DNA polymerase 2 unit โดยไพรเมอร์ (ชิ้นนิวคลีโอไทด์สายสั้นๆ ที่เป็นจุดเริ่มต้นของการเพิ่ม

ปริมาณดีเอ็นเอ) ที่ใช้จะเป็นไพรเมอร์ ที่พัฒนาแล้วสำหรับปูชนิดอื่น (ตารางที่ 1) โดยรวมถึงยีน 16S rRNA และ Cytochrome oxidase subunit I (COI) บันไดโตกอนเดรีย และยีน Histone H3 ในนิวเคลียส (Schubart et al. 2006; Schubart and Reuschel 2009)

การเพิ่มดีเอ็นเอในสารละลายปฏิกิริยาจะผ่านการเพิ่มลดอุณหภูมิในเครื่อง thermocycler (MJ mini, Biorads, USA) โดยวิธีจัดการการเพิ่มลดอุณหภูมิประกอบไปด้วย 3 ชุด (ตารางที่ 2) คือ (1) วัฏจักร 1 รอบของการเพิ่มอุณหภูมิเพื่อให้ดีเอ็นเอแยกเป็น 2 เส้น (denaturing temperature, 94°C) เป็นเวลา 3 นาที (2) วัฏจักร 35 รอบของ denaturing temperature นาน 1 นาที การลดอุณหภูมิเพื่อให้ไพรเมอร์เกาะกับสายดีเอ็นเอต้นแบบ (annealing temperature, 45 °C, ตารางที่ 2) เป็นเวลา 1 นาที และการเพิ่มอุณหภูมิเพื่อให้เขอนไฮเม่ DNA polymerase ซ่อมสายดีเอ็นเอเส้นใหม่ให้สมบูรณ์ (extension temperature, 72 °C) เป็นเวลา 1.5 นาที และ (3) วัฏจักร 1 รอบ ของ extension temperature นาน 10 นาที (ดัดแปลงจาก Schubart et al. 2006)

ตารางที่ 2 รายละเอียดของไพรเมอร์ พร้อมรายละเอียดของอุณหภูมิที่ไพรเมอร์ เกาะกับดีเอ็นเอต้นแบบ (annealing temperature) ที่ทดสอบในการศึกษาในครั้งนี้

ยีน	รายละเอียดไพรเมอร์	Annealing temperature	อ้างอิง
16S rRNA (ไม่โตกอนเดรีย)	16S-1472: 5'AGA TAG AAA CCA ACC TGG3'	45 C	Schubart et al. (2006)
	16S-L2: 5'TGC CTG TTT ATC AAA AAC AT3'		
Cytochrome oxidase subunit I (COI; ไม่โตกอนเดรีย)	COI HCO2198: 5' TAA ACT TCA GGG TGA CCA AAA AAT CA 3' COI LCO1490: 5' GGT CAA CAA ATC ATA AAG ATA TTG G 3'	45 C	Hebert et al. (2003)
H3 (นิวเคลียส)	H3af:5'-ATG GCT CGT ACC AAG CAG ACC GC-3' H3ar:5'-ATA TCC TTG GGC ATG ATG GTG AC-3'	45 C	Schubart and Reuschel (2009)

การวิเคราะห์หาลำดับนิวคลีโอไทด์

ทำการวิเคราะห์หาลำดับนิวคลีโอไทด์ ด้วยชุดทำความสะอาดผลผลิตพีซีอาร์ สำเร็จรูป (HiYield Gel/PCR DNA Fragment extraction kit, RBC Bioscience) เพื่อกำจัดนิวคลีโอไทด์อิสระ และขั้นไพรเมอร์ส่วนเกิน ตรวจสอบความแม่นยำ และปริมาณของผลผลิตพีซีอาร์ที่ทำความสะอาดแล้ว ด้วย agarose gel (Winfrey et al. 1994) ย้อมແຜ່ນเจลด้วยสารละลายเอธิเดียมบอร์มายด์ สารดีเอ็นเอที่ย้อมติดด้วยเอธิเดียมบอร์มายด์ จะเรืองแสง ภายใต้แสง UV เทียบความเข้มกับดีเอ็นเอขนาดมาตรฐาน 100 คู่เบส (M23 100 bp) จากนั้นวิเคราะห์หาลำดับนิวคลีโอไทด์ ด้วยเครื่องหาลำดับนิวคลีโอไทด์ยัตโนมัติ ABI 3100 (บริษัท 1st Base ประเทศไทย) การวิเคราะห์หาลำดับนิวคลีโอไทด์ดังกล่าวใช้ระบบวิเคราะห์อิเล็กตรโฟเรซิสต์โนมัติ (automated sequencer) ซึ่งอาศัย

หลักการตรวจสอบคลีนแสลงที่ปลดปล่อยจากกลากเรืองแสงบนเครื่องหมายพันธุกรรม เมื่อกระตุ้นด้วย แสงเลเซอร์ ข้อมูลจะเป็น electropherogram ที่แสดง peak ของเบสต่างๆ ด้วยสีที่แตกต่างกัน การวิเคราะห์ข้อมูล

จัดและแก้ไขลำดับนิวคลีโอไทด์

ตรวจสอบความถูกต้องของลำดับนิวคลีโอไทด์ (ความสอดคล้องกันระหว่างนิวคลีโอไทด์ที่อ่านได้ และ ความชัดเจนของ peak) ด้วยโปรแกรมคอมพิวเตอร์ Sequence Scanner v. 1 (Applied Biosystems, USA) จากนั้นจัดเรียง (align) ลำดับนิวคลีโอไทด์ที่แก้ไขแล้วของตัวอย่าง โดยใช้ algorithm ClustalW ที่มีอยู่ในซอฟท์แวร์ BioEdit version 7.05.3 (Hall, 1999) หลักการของการ align คือ การจัดเรียงลำดับนิวคลีโอไทด์อย่างน้อยสองเส้นให้มีจำนวนนิวคลีโอไทด์เหมือนกันมากที่สุด และ มีจำนวนซ่องว่างที่เพิ่ม (gap) น้อยที่สุด การ align จะบ่งบอกตำแหน่งที่มีความแตกต่างกันของนิวคลีโอไทด์ระหว่างสาย นิวคลีโอไทด์

เปรียบเทียบระดับความคล้ายคลึงของลำดับนิวคลีโอไทด์

วิเคราะห์ความหลากหลายทางพันธุกรรมของสายนิวคลีโอไทด์ ของปู ชนิดต่างๆ และกุ้ดดีดขัน โดยใช้ข้อมูลดังต่อไปนี้ คือ (1) ค่าเฉลี่ยจำนวนเบสของค์ประกอบของแต่ละเบส (Bases Composition) (2) จำนวนตำแหน่งที่มีความแปรปรวนของนิวคลีโอไทด์ (Variable sites) และที่สามารถนำไปวิเคราะห์ความสัมพันธ์ทางวิวัฒนาการ (Parsimony informative sites) (3) ความแตกต่างทางวิวัฒนาการระหว่างสายนิวคลีโอไทด์ ที่แสดงเป็นจำนวนการแทนที่เบสต่อตำแหน่ง (ใต้แนวเส้นทางแบ่งมุม) และค่า standard error (เหนือแนวเส้นทางแบ่งมุม) โดยใช้ค่าระยะห่างทางพันธุกรรมที่คำนวณจากรูปแบบการแทนที่นิวคลีโอไทด์ตามโมเดลที่เหมาะสมกับข้อมูล ซึ่งค่าดัชนีเหล่านี้สามารถคำนวณได้จากโปรแกรมคอมพิวเตอร์ MEGA version 6.0 (Tamura et al. 2013)

การวิเคราะห์ความสัมพันธ์ทางวิวัฒนาการ

สร้างแผนภูมิแสดงความสัมพันธ์ทางวิวัฒนาการ (Phylogenetic trees) โดยวิธี Maximum Likelihood และ Minimum Evolution (Rzhetsky and Nei 1992) โดยใช้โมเดลที่อธิบายอัตราการกลายที่เหมาะสมกับข้อมูลมากที่สุด (คำนวณด้วยโปรแกรม MEGA version 6.0) ทดสอบความสม่ำเสมอของ การจัดกลุ่มด้วยวิธี Bootstrapping ที่ 1000 ชี้ สร้างแผนภูมิฯ โดยใช้โปรแกรมคอมพิวเตอร์ MEGA version 6.0

ผลการศึกษา

สายนิวคลีโอไทด์ของยีน COI ที่ใช้ไวเคราะห์ (หลังจากการจัดเรียงนิวคลีโอไทด์) ในการศึกษาครั้งนี้ มีความยาวทั้งสิ้น 623 (ปุลูม) - 686 (ปูใบ) คู่เบส และสายนิวคลีโอไทด์ของยีน 16S rRNA มีความยาวทั้งสิ้น 516 (กุ้งดีดขัน) – 542 (ปูม้าหิน) คู่เบส ในขณะที่ยีน Histone H3 ที่วิเคราะห์มีความยาว 297 (ปุลูม) - 349 (ปูใบ) ในตัวอย่างกุ้งปูทุกชนิด ยีน COI มีระดับความแปรปรวนมากที่สุด และยีน Histone H3 มีความแปรปรวนต่ำสุด

เมื่อเปรียบเทียบยีนตำแหน่งเดียวกันระหว่างสิ่งมีชีวิตต่างกลุ่ม พบร่วมค่าประกอบของนิวคลีโอไทด์ (Thyamine, Cytosine, Adenine และ Guanine) มีค่าใกล้เคียงกัน

ความแปรปรวนของของลำดับนิวคลีโอไทด์ และความแตกต่างทางพันธุกรรมของปูใบ

ทั้งสามยีนบ่งชี้ว่ากลุ่มปูใบที่คาดว่าเป็นชนิด *Leptodius exaratus* ที่มีสีและลวดลายบนลำตัวแตกต่างกัน (ตารางที่ 3) ไม่มีความแตกต่างทางพันธุกรรม ยีน COI แสดงระดับความแปรปรวนระหว่างตัวอย่างเท่ากับร้อยละ 3.21 (สัดส่วนของตำแหน่งที่มีความแปรปรวนเทียบกับจำนวนนิวคลีโอไทด์ที่วิเคราะห์) ในขณะที่ยีน 16S แสดงสัดส่วนตำแหน่งที่มีความแปรปรวนเพียงร้อยละ 0.02 เมื่อเทียบกับนิวคลีโอไทด์ทั้งสาม และยีน Histone H3 ไม่แสดงความแตกต่างระหว่างตัวอย่างเลย

ตารางที่ 3 ความหลากหลายทางพันธุกรรม และข้อมูลสถิติของลำดับนิวคลีโอไทด์ของตัวอย่างปูใบ *Leptodius exaratus* ที่รวมมาจากหมู่เกาะแสมสาร

	COI	16S	Histone H3
Total number of nucleotides (bp)	686	534	349
Number of sequence	6	6	7
Variable sites	22 (3.21%)	1 (0.02%)	0
Parsimony informative sites	7 (1.02%)	0	0
Mean T content	34.8	33.4	18.9
Mean C content	20.7	11.3	29.2
Mean A content	26.8	36.0	15.8
Mean G content	17.6	19.3	36.1

ความแปรปรวนของของลำดับนิวคลีโอไทด์ และความแตกต่างทางพันธุกรรมของปูม้าหินสกุล *Thalamita*

ปูม้าหินที่คาดว่าจะเป็น *Thalamita danae* และ *T. prymna* (ลักษณะของพื้นผิวของฐานหนวด basal attena ต่างกัน) ที่รวมมาจากหมู่เกาะแสมสาร ไม่มีความแตกต่างทางพันธุกรรมเมื่อสรุปจากผลลำดับนิวคลีโอไทด์ของตัวอย่าง (ตารางที่ 4) โดยยีน Histone H3 แสดงระดับความ

แปรปรวนของลำดับนิวคลีโอไทด์เท่ากับร้อยละ 1.5 ในขณะที่ยืน COI และ 16S rRNA มีความแปรปรวนเพียงร้อยละ 0.003 และ 0.07 ตามลำดับ

ตารางที่ 4 ความหลากหลายทางพันธุกรรม และข้อมูลสถิติของลำดับนิวคลีโอไทด์ของตัวอย่าง ปูม้าหิน *Thalamita* spp. ที่รวบรวมจากหมู่เกาะแสมสาร

	COI	16S	Histone H3
Total number of nucleotides (bp)	527	542	328
Number of sequence	14	8	9
Variable sites	2 (0.003%)	4 (0.07%)	5 (1.5%)
Parsimony informative sites	0	0	1 (0.03%)
Mean T content	28.6	37.4	20.2
Mean C content	17.2	11.2	31.7
Mean A content	34.7	33.7	19.7
Mean G content	19.4	17.7	28.5

ชนิดพันธุ์ *Thalamita* ของหมู่เกาะแสมสารที่วิเคราะห์ ในครั้งนี้ น่าจะเป็นชนิดที่แตกต่างจาก *T. prymna* ที่อยู่ในฐานข้อมูล GenBank (ตารางที่ 5 และ 6) เนื่องจากลำดับนิวคลีโอไทด์ของยืน COI บ่งชี้ว่าสายนิวคลีโอไทด์ของปูจากหมู่เกาะแสมสารแตกต่างจากตัวอย่าง *T. prymna* ที่อยู่ฐานข้อมูลฯ ค่อนข้างมาก (ระดับความเหมือนเท่ากับร้อยละ 89 และมีระยะห่างทางพันธุกรรมเท่ากับ 0.18) แต่จะคล้ายกับ *T. danae* ที่อยู่ในฐานข้อมูลฯ เมื่ออ้างอิงจากยืน 16S rRNA เนื่องจากพบระดับความคล้ายกันถึงร้อยละ 99 อย่างไรก็ตาม ยืน Histone H3 ไม่แสดงข้อมูลที่เป็นประโยชน์ในการระบุชนิดมากนัก เพราะไม่สามารถแยกความแตกต่างระหว่างปู *Thalamita* ของแสมสารกับ *T. crenata* และ *T. danae* ได้

ตารางที่ 5 ระดับความเหมือน (% identity) ของลำดับนิวคลีโอไทด์ของปูม้าหินสกุล *Thalamita* ที่รวมรวมจากเก้าอี้และสาร จังหวัดชลบุรี เมื่อเทียบกับข้อมูลที่มีรายงานในฐานข้อมูล GenBank ที่ได้จัดทำโดยวิธี (a) ยืน COI (b) ยืน 16S rRNA และ (c) ยืน Histone H3

(a) ยืน COI

ตัวอย่างปูม้าหินสกุล <i>Thalamita</i>	ข้อมูล GenBank ของยืน COI		
	รายละเอียดข้อมูล	จำนวนเบสที่เทียบเคียง (และ % Identities)	% Coverage
Thsp01, Thsp02, Thsp04, Thsp08, Thsp12, Thda01F, Thda03, Thda04F, Thda6, Thpr01, Thpr02M และ Thpr04F	<i>Thalamita sima</i> (JX502946.1) <i>T. admete</i> (JQ180240.1) <i>T. prymna</i> (JX398103.1) <i>T. crenata</i> (JX398104.1)	791 (89%) 680 (86%) 641 (89%) 708 (91%)	95% 94% 76% 76%

(b) ยืน 16S rRNA

ตัวอย่างปูม้าหินสกุล <i>Thalamita</i>	ข้อมูล GenBank ของยืน 16S rRNA		
	รายละเอียดข้อมูล	จำนวนเบสที่เทียบเคียง (และ % Identities)	% Coverage
Thpr1 - Thpr 4, Thda 2, Thda3, Thda4, และ Thda 6	<i>T. danae</i> (FJ152165.1) <i>T. crenata</i> (LK391945.1) <i>T. sima</i> (FJ152166.1)	517 (99) 562 (96) 521 (92)	92 100 92

(c) ยืน Histone H3

ตัวอย่างปูม้าหินสกุล <i>Thalamita</i>	ข้อมูล GenBank ของยืน Histone H3		
	รายละเอียดข้อมูล	จำนวนเบสที่เทียบเคียง (และ % Identities)	% Coverage
Thpr1, Thpr2, Thpr 4, Thda3 – Thda8	<i>T. crenata</i> (FM208800.1) <i>T. prymna</i> (JX398114.1) <i>T. sima</i> (JX398122.1)	328 (99) 327 (99) 327 (94)	87 87 87

นอกจากนี้ค่าระยะห่างทางพันธุกรรมที่คำนวณจากลำดับนิวคลีโอไทด์ของยืน COI (ตารางที่ 6) และแผนภูมิแสดงความสัมพันธ์ทางวิวัฒนาการที่สร้างจากข้อมูลนิวคลีโอไทด์ของยืนตัวหนึ่งเดียวทั้งหมด (ภาพที่ 3 และ 4) ยังแสดงให้เห็นว่าตัวอย่างที่คาดว่าจะเป็น 2 ชนิด (*Thalamita danae* และ *T. prymna*) ของหมู่เกาะแสมสาร น่าจะเป็นกลุ่มชนิดพันธุ์เพียงชนิดเดียว เนื่องจากไม่มีความแตกต่างทางพันธุกรรม (ระยะห่างทางพันธุกรรมระยะห่างทางพันธุกรรมเท่ากับ 0-0.002 และ 0-0.01 สำหรับยืน COI และ 16S ตามลำดับ) และการวิเคราะห์ความสัมพันธ์ทางวิวัฒนาการได้จัดกลุ่มให้ตัวอย่าง

ทั้งหมด ให้เป็นกลุ่มเดียวกัน เมื่อวิเคราะห์ลำดับนิวคลีโอไทด์ของทั้งสองยืน โดยค่าสนับสนุนการจัดกลุ่มมีค่าระหว่างร้อยละ 99 ถึง 100 ของการสุมแพนぐามิฯ ทั้งหมด

ตัวอย่างที่รวมจากหมู่เกาะแสมสารน่าจะเป็นปูชนิด *Thalamita danae* เพราะเมื่อพิจารณาแพนぐามิฯ ที่สร้างจากยืน 16S rRNA แล้วพบว่า ตัวอย่างทั้งหมดถูกจัดรวมกับสายนิวคลีโอไทด์ของ *T. danae* ที่อยู่ในฐานข้อมูล GenBank ซึ่งตัวอย่างในกลุ่มนี้แตกต่างจากชนิดอื่นที่อยู่ในสกุลเดียวกัน คือ *T. crenata* และ *T. sima* อย่างชัดเจน

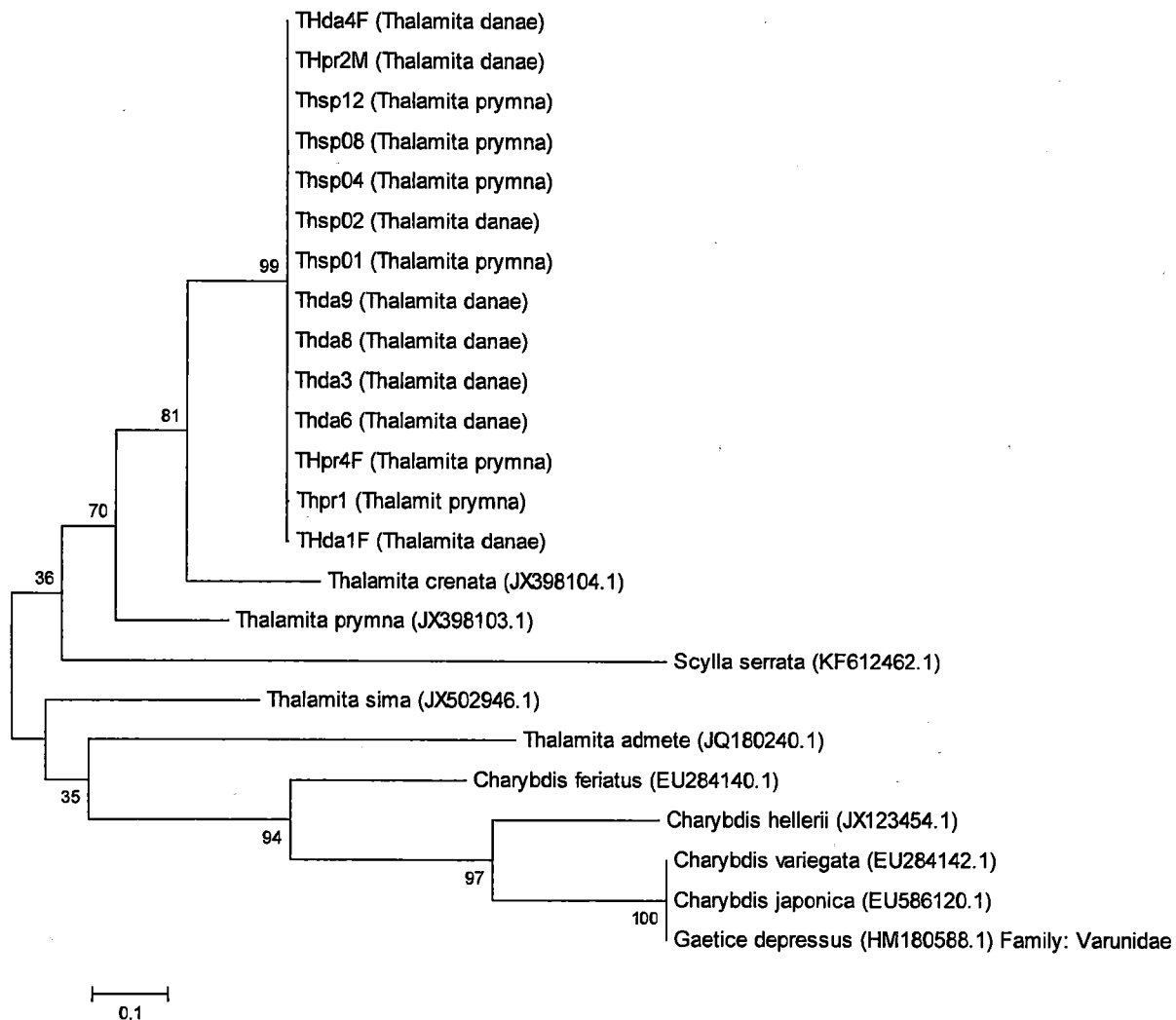
ตารางที่ 6 ค่าความแตกต่างทางพันธุกรรมระหว่างบูมาริน *Thalamita* (แนวต่อสืบทะยุ) โดยคำนวณจากจำนวนการแทนที่บีวีคีอิโซไทต์ต่อตำแหน่งเฉลี่ยร่องทุกครั้งที่ใช้ COI สำหรับชุดตัวอย่างที่ (a) ปีน COI (24 สัญญาความถี่ 527 คู่บีบ) ตัวอย่างเดล Tamura-Nei ที่รวมความแปรปรวนของผู้ตรวจประเมินทางวัฒนธรรมระหว่างตำแหน่ง (G) และ (b) ปีน 16S rRNA (14 สัญญาความถี่ 517 คู่บีบ) ตัวอย่างเดล Tamura-3-parameter (T92+) ที่ไม่ตัดส่วนของสายพันธุ์ในคีอิโซไทต์

(a) ปีน COI (TN93+G)

	Standard error	ส่วนสำคัญเบนเนอร์	Standard error	ส่วนสำคัญเบนเนอร์
<i>Thda3</i> (<i>Thalamita danae</i>)	0.00	0.00	0.00	0.00
<i>Thda6</i> (<i>Thalamita danae</i>)	0.00	0.00	0.00	0.00
<i>Thda8</i> (<i>Thalamita danae</i>)	0.00	0.00	0.00	0.00
<i>Thda9</i> (<i>Thalamita danae</i>)	0.00	0.00	0.00	0.00
<i>Thp1</i> (<i>Thalamita prymna</i>)	0.00	0.00	0.00	0.00
<i>Thsp01</i> (<i>Thalamita prymna</i>)	0.00	0.00	0.00	0.00
<i>Thsp02</i> (<i>Thalamita danae</i>)	0.00	0.00	0.00	0.00
<i>Thsp04</i> (<i>Thalamita prymna</i>)	0.00	0.00	0.00	0.00
<i>Thsp08</i> (<i>Thalamita prymna</i>)	0.00	0.00	0.00	0.00
<i>Thsp12</i> (<i>Thalamita prymna</i>)	0.00	0.00	0.00	0.00
<i>Thda1F</i> (<i>Thalamita danae</i>)	0.00	0.00	0.00	0.00
<i>Thda4F</i> (<i>Thalamita danae</i>)	0.00	0.00	0.00	0.00
<i>Thp2M</i> (<i>Thalamita danae</i>)	0.00	0.00	0.00	0.00
<i>Thp4F</i> (<i>Thalamita prymna</i>)	0.00	0.00	0.00	0.00
<i>Thalamita crenata</i> (UX398104.1)	0.10	0.10	0.10	0.10
<i>Thalamita sima</i> (JX502946.1)	0.13	0.13	0.13	0.13
<i>Thalamita prymna</i> (UX398103.1)	0.14	0.14	0.14	0.14
<i>Thalamita admete</i> (JQ180240.1)	0.18	0.18	0.18	0.18
<i>Charybdis helieri</i> (JX123454.1)	0.18	0.18	0.18	0.18
<i>Charybdis variegata</i> (EU284142.1)	0.20	0.20	0.20	0.20
<i>Charybdis japonica</i> (EU586120.1)	0.20	0.20	0.20	0.20
<i>Charybdis feriatus</i> (EU284140.1)	0.18	0.18	0.18	0.18
<i>Scylla serrata</i> (KR612462.1)	0.20	0.20	0.20	0.20
<i>Gaetice depresso</i> (HM180588.1) Family: Varunidae	0.20	0.20	0.20	0.20

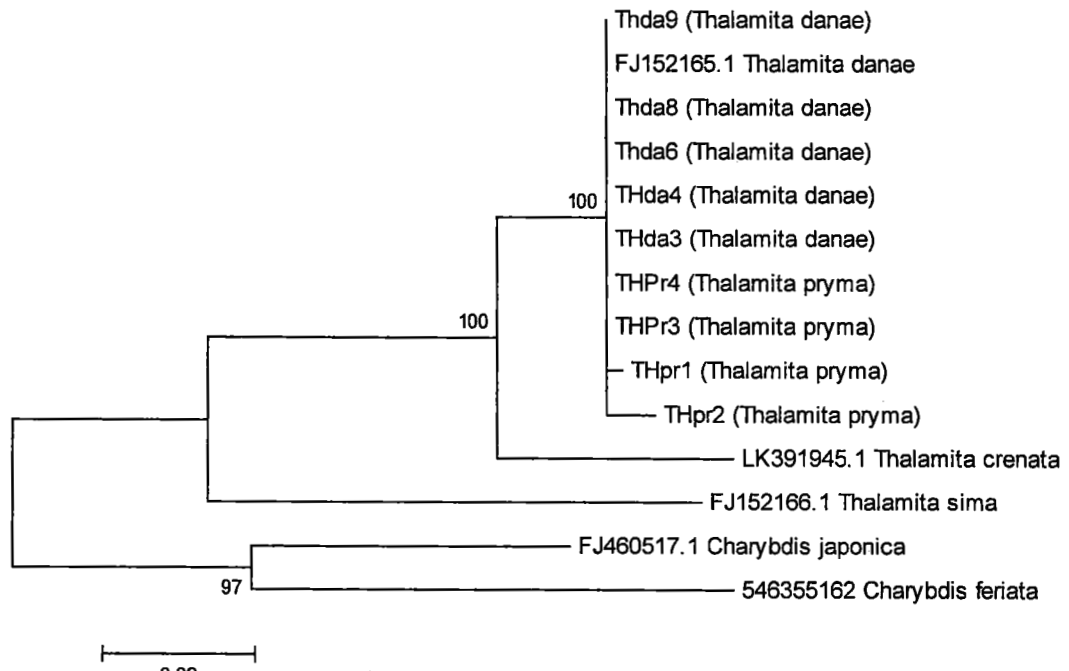
ตารางที่ 6 (ต่อ)

(b) ขึ้น 16S (T92+)										
THpr1 (<i>Thalamita pryma</i>)	0.00	0.00	0.00	0.00	0.00	0.00	0.00	0.00	0.01	0.02
THpr2 (<i>Thalamita pryma</i>)	0.01	0.00	0.00	0.00	0.00	0.00	0.00	0.00	0.02	0.01
THpr3 (<i>Thalamita pryma</i>)	0.00	0.01	0.00	0.00	0.00	0.00	0.00	0.00	0.02	0.01
THpr4 (<i>Thalamita pryma</i>)	0.00	0.01	0.00	0.00	0.00	0.00	0.00	0.00	0.01	0.02
THda3 (<i>Thalamita danae</i>)	0.00	0.01	0.00	0.00	0.00	0.00	0.00	0.00	0.01	0.02
THda4 (<i>Thalamita danae</i>)	0.00	0.01	0.00	0.00	0.00	0.00	0.00	0.00	0.01	0.02
THda6 (<i>Thalamita danae</i>)	0.00	0.01	0.00	0.00	0.00	0.00	0.00	0.00	0.01	0.02
THda8 (<i>Thalamita danae</i>)	0.00	0.01	0.00	0.00	0.00	0.00	0.00	0.00	0.01	0.02
THda9 (<i>Thalamita danae</i>)	0.00	0.01	0.00	0.00	0.00	0.00	0.00	0.00	0.01	0.02
FJ152165.1 <i>Thalamita danae</i>	0.00	0.01	0.00	0.00	0.00	0.00	0.00	0.00	0.01	0.02
LK391945.1 <i>Thalamita crenata</i>	0.04	0.05	0.04	0.04	0.04	0.04	0.04	0.04	0.04	0.04
FJ460517.1 <i>Charybdis japonica</i>	0.10	0.10	0.10	0.10	0.10	0.10	0.10	0.10	0.11	0.02
546355162 <i>Charybdis feriata</i>	0.12	0.12	0.12	0.12	0.12	0.12	0.12	0.12	0.13	0.09
FJ152166.1 <i>Thalamita sima</i>	0.09	0.10	0.09	0.09	0.09	0.09	0.09	0.09	0.10	0.12
										0.12



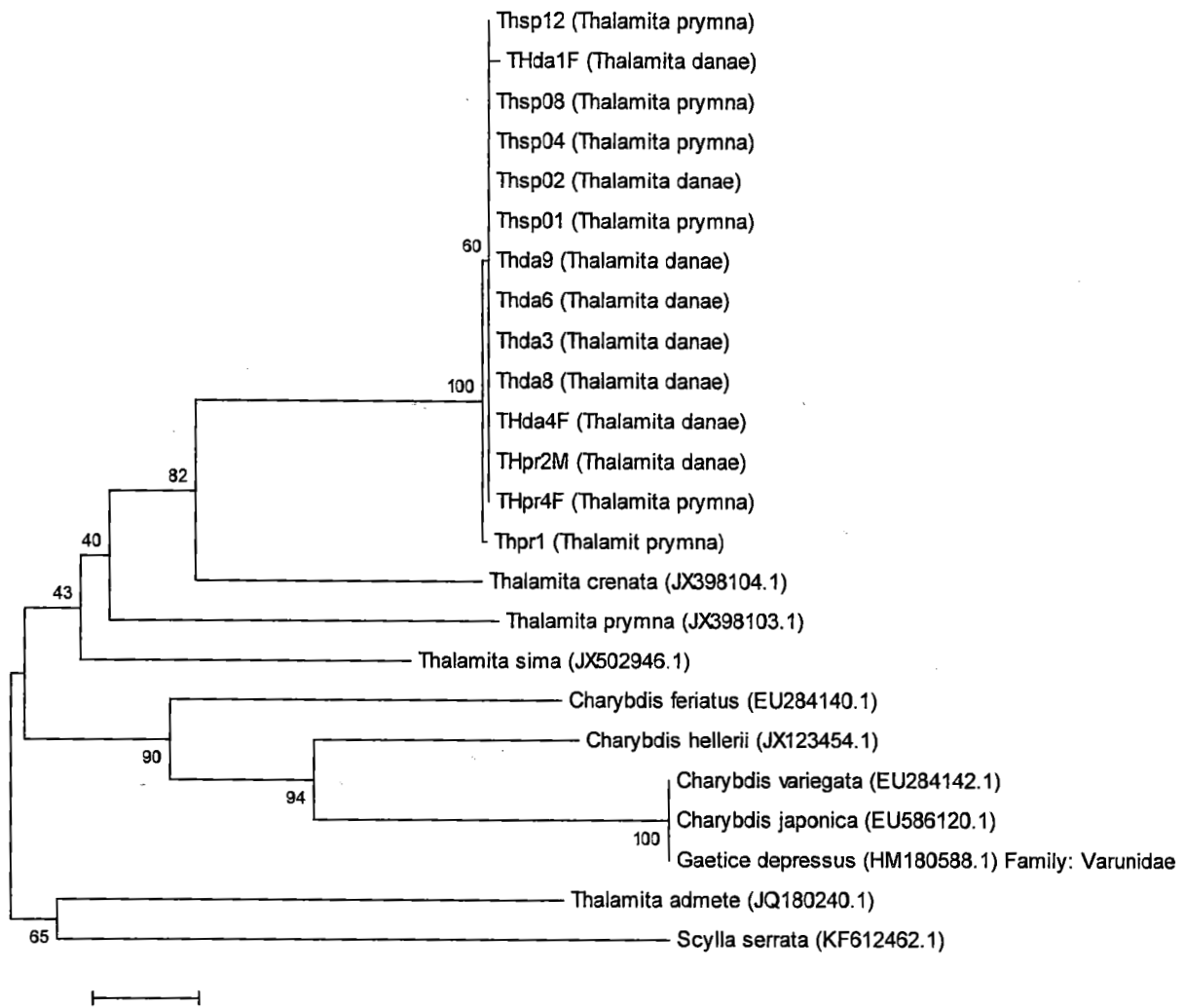
(a) ยีน COI

ภาพที่ 3 แผนภูมิแสดงความสัมพันธ์ทางวิวัฒนาการของปูม้าหิน *Thalamita* ที่สร้างด้วยใช้วิธีการ Maximum Likelihood จากข้อมูลลำดับนิวคลีโอไทด์บางส่วนของ (a) ยีน COI บนไมโทคอนเดรีย ที่อยู่บนฐานของโมเดล Tamura-Nei (TN93+G) ซึ่งแผนภูมิที่แสดงมีค่า log likelihood มากที่สุด (-2253.0454) ใช้ข้อมูลทั้งสิ้น 527 ตำแหน่งและ (b) ยีน 16S rRNA ที่อยู่บนฐานของโมเดล Tamura-3-parameter (T92+I, Tamura 1992) ซึ่งยอมให้มีการกำหนดบิเวณที่ไม่มีความแปรปรวน ซึ่งแผนภูมิที่แสดงมีค่า log likelihood มากที่สุด (-1281.6149) ใช้ข้อมูลทั้งสิ้น 517 ตำแหน่ง เปอร์เซ็นต์สนับสนุนการจัดกลุ่ม คือร้อยละของแผนภูมิที่ได้จากการสุ่มช้ำ (bootstrap) 1000 ครั้ง ความยาวแขนระหว่างกลุ่มอนุกรมวิธานบนแผนภูมิฯ คือจำนวนการแทนที่เบสต์อ็อกต์ตำแหน่ง แผนภูมิเริ่มต้นสำหรับการหาแผนภูมิที่ดีที่สุดหาโดยใช้แนวทาง heuristic search และสร้างโดยวิธีการ Neigbor-Join หรือ BIONJ ที่ใช้ข้อมูลระยะห่างทางพันธุกรรมของคู่ตัวอย่าง คำนวณโดย Maximum Composit matrix



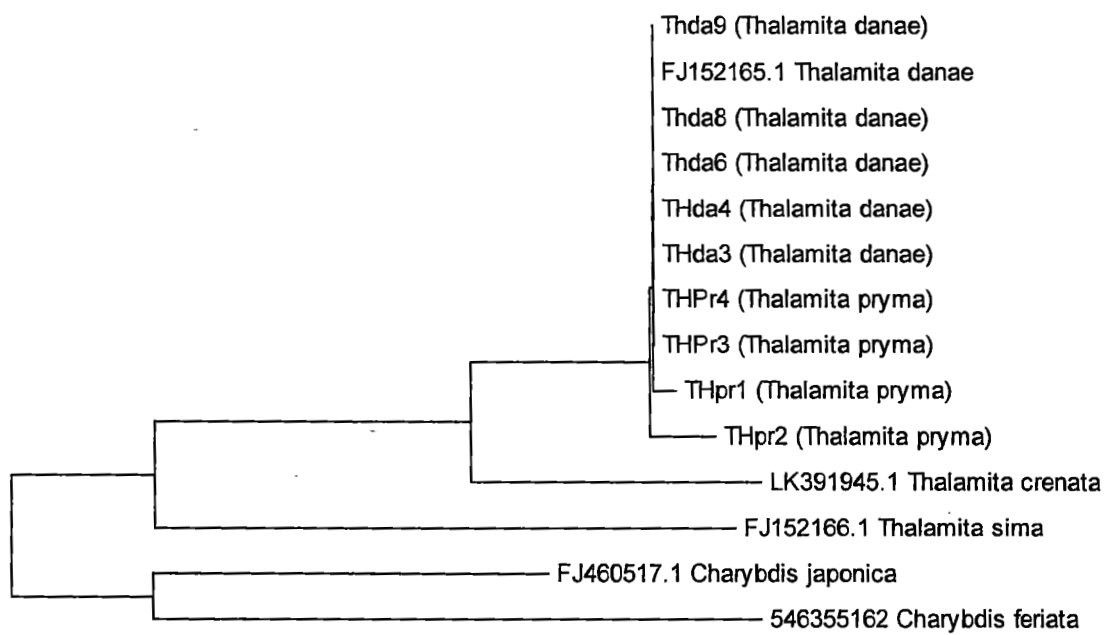
(b) ยีน 16S rRNA

ภาพที่ 3 (ต่อ)



(a) ยีน COI

ภาพที่ 4 แผนภูมิแสดงความสัมพันธ์ทางวิถีทางการของปูม้าหิน *Thalamita* ที่สร้างจากลำดับนิวคลีโอไทด์บางส่วนของ (a) ยีน COI และ (b) ยีน 16S rRNA บนไมโครคอนเดรีย ด้วยใช้วิธีการ Minimum Evolution โดยใช้คือ Tamura-Nei (TN93+G, Tamura and Nei 1993) โดยใช้ข้อมูลจำนวนทั้งสิ้น 527 ตำแหน่ง และ Tamura-3-parameter (T92+I, Tamura 1992) โดยใช้ข้อมูลทั้งสิ้นจำนวน 517 ตำแหน่ง สำหรับยีน COI และ 16S ตามลำดับ เปอร์เซ็นสนับสนุนการจัดกลุ่ม คือร้อยละของแผนภูมิที่ได้จากการสุ่มซ้ำ (bootstrap) 1000 ครั้ง สร้างแผนภูมิเริ่มต้นโดยวิธี Neighbor-Joining การหาแผนภูมิฯ ใช้วิธี Close-Neighbor-Interchange (CNI) algorithm



(b) ยืน 16S rRNA

ภาพที่ 4 (ต่อ)

ความแปรปรวนของของลำดับนิวคลีโอไทด์ และความแตกต่างทางพันธุกรรมของปูลม

ปูลมที่พบที่หมู่เกาะแสมสารน่าจะประกอบไปด้วยปูลมเพียงชนิดเดียวคือ *Ocypode ceratophthalmus* เมื่อพิจารณาระดับความแปรปรวนของสายนิวคลีโอไทด์ของยืนสามตำแหน่ง โดยยืนที่มีความแปรปรวนสูงสุดคือยืน COI (สัดส่วนตำแหน่งที่มีความแปรปรวนเท่ากับร้อยละ 0.01) และยืนที่มีความแปรปรวนต่ำที่สุดคือยืน Histone H3

ตารางที่ 7 ความหลากหลายทางพันธุกรรม และข้อมูลสถิติของลำดับนิวคลีโอไทด์ของตัวอย่าง ปูลม คือ *Ocypode ceratophthalmus* ที่รวบรวมจากหมู่เกาะแสมสาร

	COI	16S	Histone H3
Total number of nucleotides (bp)	623	523	297
Number of sequence	8	6	8
Variable sites	8 (0.01%)	4 (0.007%)	0
Parsimony informative sites	2 (0.003%)	0	0
Mean T content	34.2	35.0	20.1
Mean C content	21.0	10.6	31.0
Mean T content	27.5	34.8	22.1
Mean G content	17.4	19.6	26.9

ชนิดพันธุ์ปูลมของหมู่เกาะแสมสารที่วิเคราะห์ในครั้งนี้ น่าจะตรงกับ *Ocypode ceratophthalmus* เนื่องจากมีระดับความคล้ายกับนิวคลีโอไทด์ของ *Ocypode ceratophthalmus* ในฐานข้อมูล GenBank ถึงร้อยละ 98-99 (ตารางที่ 8) ยืน COI และ 16S rRNA มีความสามารถในการบ่งชี้ความแตกต่างของสปีชีส์ในสกุลเดียวกันได้กว่า Histone H3 โดยต่างสปีชีส์ในสกุลเดียวกันมีระดับความคล้ายกันของนิวคลีโอไทด์ร้อยละ 87-92 สำหรับยืน COI และ 16S rRNA ในขณะที่ยืน Histone H3 แสดงระดับความคล้ายกันที่ร้อยละ 97-98

ตารางที่ 8 ระดับความเหมือน (% identity) ของลำดับนิวคลีโอไทด์ของปูลมตามราศ *Ocypode ceratophthalmus* ที่รวมมาจากເກາະແສມສາຮ ຈັງຫວັດຂລບຸຮ ເມື່ອເທີຍບັນສາຍນິວຄລື້ອໄທດໍ່ທີ່ຢືນຕຳແໜ່ງເທີຍກັນທີ່ມີຮາຍງານໃນฐานข้อมูล GenBank ທີ່ດີເວັ້ນເອບຮີຣວັນ (a) ຍືນ COI (b) ຍືນ 16S rRNA ແລະ (c) ຍືນ Histone H3

(a) ຍືນ COI

ตัวอย่างปูลม	ข้อมูล GenBank ของยืน COI		
	รายละเอียดข้อมูล	จำนวนเบสที่เทียบเคียง (และ % Identities)	% Coverage
Occe1 – Occe8	<i>Ocypode ceratophthalmus</i> (LN611669.1)	682 (99)	100%
	<i>O. platytarsis</i> (KF633174.1)	638 (92)	93%
	<i>O. stimpsoni</i> (JX502934.1)	657 (89)	96%
	<i>O. mortoni</i> (AB751388.1)	635 (89)	92%
	<i>O. sinensis</i> (AB751392.1)	637 (87)	92%
	<i>Hemigrapsus penicillatus</i> (HM180611.1)	682 (85)	99%

(b) ຍືນ 16S rRNA

ตัวอย่างปูลม	ข้อมูล GenBank ของยืน 16S rRNA		
	รายละเอียดข้อมูล	จำนวนเบสที่เทียบเคียง (และ % Identities)	% Coverage
Occe1, Occe2, Occe4, Occe5, Occe7, Occe8	<i>Ocypode ceratophthalmus</i> (LN611669.1)	552 (99)	100
	<i>O. ryderii</i> (AM180689.1)	537 (89)	96
	<i>O. quadrata</i> (FN539018.1)	522(89)	94
	<i>Ucides cordatus</i> (FN539019.1)	543 (83)	96
	<i>Uca rapax</i> (AB813665.1)	541 (84)	96

ตารางที่ 8 (ต่อ)

(c) ยีน Histone H3

ตัวอย่างปูลม	ข้อมูล GenBank ของยีน Histone H3		
	รายละเอียดข้อมูล	จำนวนเบสที่เทียบเคียง (และ % Identities)	% Coverage
Occe1 – Occ8	<i>Ocypode quadrata</i> (FN434069.1)	328 (98)	88
	<i>Ocypode ceratophthalmus</i> (KJ133152.1)	294 (99)	79
	<i>Ocypode sinensis</i> (KJ133153.1)	294 (97)	79
	<i>Ucides cordatus</i> (FN434070.1)	327 (94)	88

ค่าระยะห่างทางพันธุกรรมที่คำนวณจากลำดับนิวคลีโอไทด์ของยีน COI และ 16S rRNA (ตารางที่ 9) และแผนภูมิแสดงความสัมพันธ์ทางวิถีของการสร้างจากข้อมูลนิวคลีโอไทด์ของยีนตัวแหน่งเดียวกัน (ภาพที่ 5 และ 6) แสดงให้เห็นว่าตัวอย่างปูลมจากหมู่เกาะแสมสารประกอบไปด้วยปูเพียง 1 ชนิดคือ *Ocypode ceratophthalmus* เนื่องจากไม่มีความแตกต่างทางพันธุกรรมระหว่างตัวอย่างจากแสมสารด้วยกันเอง และระหว่างตัวอย่างจากแสมสารกับสายนิวคลีโอไทด์ของ *O. ceratophthalmus* ในฐานข้อมูล GenBank (ระยะห่างทางพันธุกรรมระยะห่างทางพันธุกรรมเท่ากับ 0-0.01 และ 0-0.004 สำหรับยีน COI และ 16S ตามลำดับ) และการวิเคราะห์ความสัมพันธ์ทางวิถีของการได้จัดกลุ่มให้ตัวอย่างทั้งหมด ให้เป็นกลุ่มเดียวกัน และเป็นกลุ่มเดียวกับตัวอย่าง *O. ceratophthalmus* จากฐานข้อมูล GenBank เมื่อวิเคราะห์ลำดับนิวคลีโอไทด์ของทั้งสองยีน โดยค่าสนับสนุนการจัดกลุ่มมีค่าระหว่างร้อยละ 96 ถึง 100 ของการสุมแผนภูมิฯ ทั้งหมด

การวิเคราะห์ความสัมพันธ์ทางวิถีของการของยีนทั้งสองตำแหน่งแสดงการจัดหมวดหมู่ของปูลมในสกุล *Ocypode* ในลักษณะ monophyletic โดยจัดกลุ่มปูลมเจนสันไว้ในหมวดหมู่เดียวกัน ซึ่งต่างจากปูสกุลอื่นที่อยู่ในแฟมิลีเดียวกัน

ตารางที่ 9 ค่าระยะห่างทางพันธุกรรมระหว่างตัวอย่างปูม (แนวล่างสันทราย) โดยคำนวณจากลำดับแทกซอน (G) และตัวอย่างที่ไม่ใช้ตัวอย่างปูม (แนวบนสันทราย) โดยคำนวณทางพันธุกรรมที่ต้องคำนึงถึง เนื่องจากตัวอย่างปูมไม่ใช่ตัวอย่างที่ใช้ในวิเคราะห์
 (a) ยีน COI (13 สาย ที่ความยาว 527 คู่บีบ) ตัวอย่างเมดิ Tamura-Nei ที่รวมความแปรปรวนของอัตราการเปลี่ยนทางวิวัฒนาการระหว่างตัวแทน (G) และ
 (b) ยีน 16S rRNA (11 สาย ที่ความยาว 508 คู่บีบ) ตัวอย่างเมดิ Maximum Composit likelihood ที่มีตัวต่อส่วนของสายพันธุ์ให้ทั้งนี้มีการเปลี่ยนแปลง ส่วนๆ

Standard error และต่างหนึ่งของเส้นทางวิวัฒนา

(a) ยีน COI (TN93+G)

Occe1 (<i>Ocypode ceratophthalmus</i>)	0.00	0.00	0.00	0.00	0.00	0.00	0.00	0.00	0.01	0.02	0.02	0.02
Occe2 (<i>Ocypode ceratophthalmus</i>)	0.00	0.00	0.00	0.00	0.00	0.00	0.00	0.00	0.01	0.02	0.02	0.02
Occe3 (<i>Ocypode ceratophthalmus</i>)	0.00	0.00	0.00	0.00	0.00	0.00	0.00	0.00	0.01	0.02	0.02	0.02
Occe4 (<i>Ocypode ceratophthalmus</i>)	0.00	-0.01	0.01	0.00	0.00	0.00	0.00	0.00	0.01	0.02	0.02	0.02
Occe5 (<i>Ocypode ceratophthalmus</i>)	0.00	0.00	0.00	0.00	0.00	0.00	0.00	0.00	0.01	0.02	0.02	0.02
Occe6 (<i>Ocypode ceratophthalmus</i>)	0.00	0.00	0.01	0.00	0.00	0.00	0.00	0.00	0.01	0.02	0.02	0.02
Occe7 (<i>Ocypode ceratophthalmus</i>)	0.00	0.00	0.01	0.00	0.00	0.00	0.00	0.00	0.01	0.02	0.02	0.02
Occe8 (<i>Ocypode ceratophthalmus</i>)	0.00	0.00	0.01	0.00	0.00	0.00	0.00	0.00	0.01	0.02	0.02	0.02
AB751382.1 <i>Ocypode ceratophthalmus</i>	0.00	0.00	0.00	0.00	0.00	0.00	0.00	0.00	0.01	0.02	0.02	0.02
KF633178.1 <i>Ocypode platytarsis</i>	0.09	0.09	0.09	0.09	0.09	0.09	0.09	0.09	0.09	0.02	0.02	0.02
JX502934.1 <i>Ocypode stimpsoni</i>	0.12	0.12	0.13	0.12	0.13	0.13	0.12	0.12	0.15	0.01	0.02	0.02
AB751388.1 <i>Ocypode mortoni</i>	0.13	0.12	0.13	0.13	0.13	0.12	0.13	0.13	0.15	0.07	0.02	0.02
AB751392.1 <i>Ocypode sinensis</i>	0.15	0.15	0.16	0.15	0.15	0.15	0.15	0.15	0.19	0.19	0.16	0.16

สำนักหอสมุด มหาวิทยาลัยบูรพา
ต.แสนสุข อ.เมือง จ.ชลบุรี 20131

(b) ข้อมูล 16S rRNA (Maximum Composit Likelihood+)

Occe 1		0.002	0.002	0.000	0.000	0.003	0.067	0.096	0.000	0.236	0.555
Occe 2		0.002	0.003	0.002	0.002	0.004	0.070	0.100	0.002	0.231	0.551
Occe 4		0.002	0.004	0.002	0.002	0.004	0.067	0.096	0.002	0.235	0.554
Occe 5		0.000	0.002	0.002	0.000	0.003	0.067	0.096	0.000	0.236	0.555
Occe 7		0.000	0.002	0.002	0.000	0.003	0.067	0.096	0.000	0.236	0.555
Occe 8		0.004	0.006	0.006	0.004	0.004	0.067	0.096	0.003	0.237	0.555
AM180689.1 <i>Ocypode ryderii</i>		0.112	0.114	0.115	0.112	0.112	0.112	0.112	0.050	0.067	0.185
FN539018.1 <i>Ocypode quadrata</i>		0.132	0.134	0.135	0.132	0.132	0.132	0.098	0.096	0.188	0.423
LN611669.1 <i>Ocypode ceratophthalmus</i>		0.000	0.002	0.002	0.000	0.000	0.004	0.112	0.132	0.236	0.555
FN539019.1 <i>Ucides cordatus</i>		0.168	0.165	0.171	0.168	0.168	0.168	0.157	0.146	0.168	0.093
B813665.1 <i>Uca rapax</i>		0.196	0.193	0.199	0.196	0.196	0.196	0.195	0.174	0.196	0.120

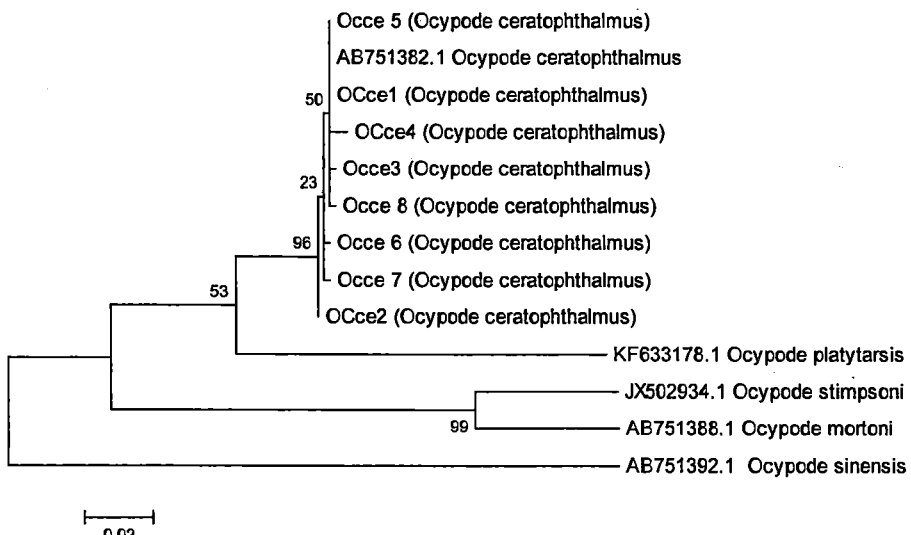
595, 386

74369

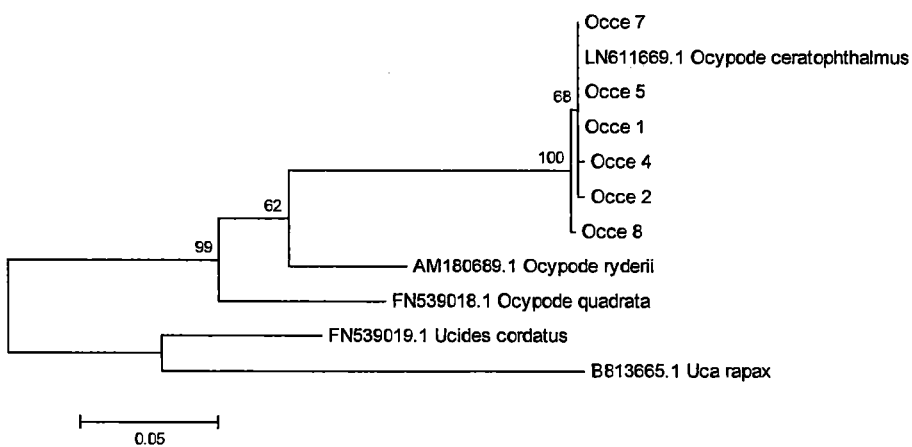
2556

A.3

357721

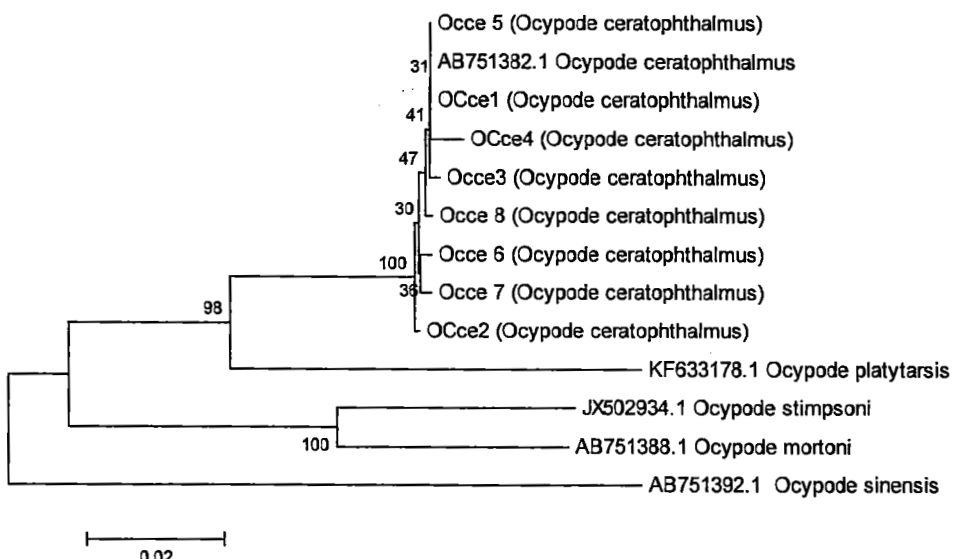


(a) ยีน COI (TN93+G)

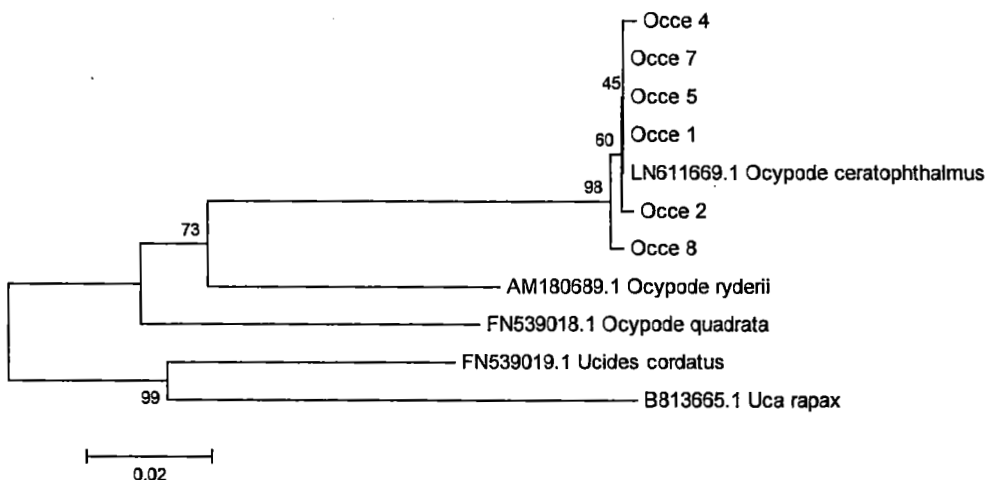


(b) 16S rRNA (HKY+I)

ภาพที่ 5 แผนภูมิแสดงความสัมพันธ์ทางวิวัฒนาการของปูลม ที่สร้างด้วยใช้วิธีการ Maximum likelihood จากข้อมูลลำดับนิวคลีโอไทด์บางส่วนของ (a) ยีน COI บนไมโทคอนเดรีย ที่อยู่บนฐานของโมเดล Tamura-Nei (TN93+G) ซึ่งแผนภูมิที่แสดงมีค่า log likelihood มากที่สุด (-1749.9872) ใช้ข้อมูลทั้งสิ้น 623 ตำแหน่งและ (b) ยีน 16S rRNA ที่อยู่บนฐานของโมเดล Hasegawa-Kishino-Yano (HKY+I, Hasegawa et al. 1985) ซึ่งยอมให้มีการกำหนดบริเวณที่ไม่มีความแปรปรวน ซึ่งแผนภูมิที่แสดงมีค่า log likelihood มากที่สุด (-1405.1147) ใช้ข้อมูลทั้งสิ้น 508 ตำแหน่ง เปอร์เซ็นต์สนับสนุนการจัดกลุ่ม คือร้อยละของแผนภูมิที่ได้จากการสุ่มช้ำ (bootstrap) 1000 ครั้ง ความยาวแขนงระหว่างกลุ่มอนุกรมวิธานบนแผนภูมิฯ คือจำนวนการแทนที่เบสต์อ็อกฟอร์ด แผนภูมิเริ่มต้นสำหรับการหาแผนภูมิที่ดีที่สุดหาโดยใช้แนวทาง heuristic search และสร้างโดยวิธีการ Neighbor-Join หรือ BIONJ ที่ใช้ข้อมูลระยะห่างทางพันธุกรรมของคู่ตัวอย่าง คำนวณโดย Maximum Composite matrix



(a) COI (TN93+G)



(b) 16S rRNA (Maximum composite likelihood+G)

ภาพที่ 6 แผนภูมิแสดงความสัมพันธ์ทางวิวัฒนาการของปูลม ที่สร้างจากลำดับนิวคลีโอไทด์บางส่วนของ (a) ยีน COI และ (b) ยีน 16S rRNA บนไมโครคอนเดรีย ด้วยใช้วิธีการ Minimum Evolution (Rzhetsky and Nei 1992) โดยใช้ค่า Tamura-Nei (TN93+G, Tamura and Nei 1993) โดยใช้ข้อมูลจำนวนทั้งสิ้น 623 ตำแหน่ง สำหรับยีน COI และ โดยเดล Maximum composite likelihood โดยใช้ข้อมูลทั้งสิ้นจำนวน 508 ตำแหน่ง สำหรับ 16S เปอร์เซ็นต์สนับสนุนการจัดกลุ่ม คือร้อยละของแผนภูมิที่ได้จากการสุ่มซ้ำ (bootstrap) 1000 ครั้ง สร้างแผนภูมิเริ่มต้นโดยวิธี Neighbor-Joining การหาแผนภูมิฯ ใช้วิธี Close-Neighbor-Interchange (CNI) algorithm

ความแปรปรวนของของลำดับนิวคลีโอไทด์ และความแตกต่างทางพันธุกรรมของกุ้งดีดขันที่พบในจังหวัดชลบุรี

ยีน 16S rRNA มีความแปรปรวนเพียงพอที่จะบ่งชีสปีชีส์ ภายในจีนสของกุ้งดีดขันสกุล *Alpheus* ที่พบในจังหวัดชลบุรี ได้ โดยมีสัดส่วนตำแหน่งที่มีความแปรปรวนเท่ากับร้อยละ 17 องค์ประกอบของสายนิวคลีโอไทด์ที่ตำแหน่งนี้ของกุ้งดีดขัน มีค่าไกลีเดียงกันกับกุ้งและปูชนิดอื่นๆ (ตารางที่ 3, 4 และ 7) แสดงให้เห็นว่าไพรเมอร์ที่ใช้สามารถเพิ่มปริมาณดีเอ็นเอ ที่บริเวณไกลีเดียงกัน

ตารางที่ 10 ความหลากหลายทางพันธุกรรม และข้อมูลสถิติของลำดับนิวคลีโอไทด์ของยีน 16S rRNA ของตัวอย่างกุ้งดีดขันสกุล *Alpheus* ที่รวบรวมจากจังหวัดชลบุรี

	ยีน 16S
Total number of nucleotides (bp)	11
Number of sequence	516
Variable sites	90 (17%)
Parsimony informative sites	98 (17%)
Mean T content	31.8
Mean C content	13.0
Mean A content	29.9
Mean G content	25.3

ชนิดพันธุ์ของกุ้งดีดขัน *Alpheus* ที่พบในจังหวัดชลบุรี ค่อนข้างจะแตกต่างจากชนิดพันธุ์อื่นที่มีรายงานในฐานข้อมูล GenBank (ตารางที่ 11) โดยระดับความเหมือน (% identity) ที่ยีน 16S rRNA ที่มากที่สุดคือร้อยละ 88-91 ซึ่งเป็นระดับที่แสดงความแตกต่างระดับสปีชีส์ ระดับความคล้ายที่ปรากฏยังยืนยันว่าการศึกษานี้ได้เพิ่มยีน 16S rRNA

ตารางที่ 11 ระดับความเหมือน (% identity) ของลำดับนิวคลีโอไทด์บริเวณ 16S rRNA ของกุ้งดีดขัน *Alpheus spp.* ที่รวบรวมจากเกาะเสม็ด จังหวัดชลบุรี เมื่อเทียบกับสายนิวคลีโอไทด์ที่ยีนตำแหน่งเดียวกันที่มีรายงานในฐานข้อมูล GenBank

ตัวอย่างกุ้งดีดขัน	ข้อมูล GenBank ของยีน 16S rRNA		
	รายละเอียดข้อมูล	จำนวนเบสที่เทียบเคียง (และ % Identity)	% Coverage
<i>Alpheus rapacida</i> (Alra 1-Alra4)	<i>Alpheus distinguendus</i> (GQ892049.1) <i>Alpheus cf.</i> <i>armillatus</i> (FJ528445.1)	510 (91) 510 (89)	100 99

	<i>A. scopulus</i> (FJ528446.1X) <i>A. buckupi</i> (JX286604.1) <i>A. petronioi</i> (KF667545.1) <i>A. pontederiae</i> (KC525923.1) <i>A. chacei</i> (JX286606.1) <i>A. estuariensis</i> (JX286607.1) <i>A. angulosus</i> (AF501637.1)	510 (88) 520 (87) 511 (86) 511 (85) 511 (85) 516 (84) 516 (84)	99 100 99 99 99 99 99
<i>A. serenei</i> (Alse1-Alse4)	<i>Alpheus pontederiae</i> (KC525923.1)	512 (88)	100
	<i>A. microrhynchus</i> (JX286612.1)	518 (88)	100
	<i>Alpheus aff. euphrosyne</i> (JX286609.1)	516 (88)	100
	<i>A. petronioi</i> (KF667545.1)	513 (88)	99
	<i>A. heterochaelis</i> (JX286610.1)	513 (88)	99
	<i>A. chacei</i> (JX286606.1)	512 (88)	99
	<i>A. estuariensis</i> (JX286607.1)	512 (86)	99
	<i>A. buckupi</i> (JX286603.1)	518 (86)	100
	<i>A. lobidens</i> (JX286611.1)	520 (85)	99
<i>Alpheus sp.</i>	<i>Alpheus distinguendus</i> (GQ892049.1)	512 (91)	100
	<i>Alpheus scopulus</i> (FJ528446.1)	510 (88)	99
	<i>A. buckupi</i> (JX286604.1)	519 (87)	100
	<i>A. hyeyoungae</i> (FJ528479.1)	513 (86)	99
	<i>A. armillatus</i> (FJ528468.1)	511 (86)	100
	<i>A. petronioi</i> (KF667544.1)	509 (85)	99
	<i>A. heterochaelis</i> (JX286610.1)	513 (85)	100
	<i>A. estuariensis</i> (JX286607.1)	513 (85)	99

ระยะห่างทางพันธุกรรมที่คำนวณจากความแตกต่างของลำดับนิวคลีโอไทด์ระหว่างตัวอย่าง (ตารางที่ 12) แสดงค่าความแตกต่างของลำดับนิวคลีโอไทด์ของกุ้งชนิดเดียวกันมีค่าเท่ากับ 0 ในขณะที่ความต่างระหว่างสปีชีส์ในสกุล *Alpheus* (ไม่รวม *Alpheus sp.*) มีค่าระหว่าง 0.09 (*A. rapacida* กับ *A. distinguendus*) ถึง 0.245 (*A. rapacida* กับ *Alpheus aff. euphrosyne*)

Alpheus sp. น่าจะเป็นชนิดพันธุ์ที่แตกต่างจากสปีชีส์อื่นๆ ที่พบในชลบุรี (ตารางที่ 12) แม้ว่า กุ้งชนิดนี้จะมีลักษณะสัณฐานค่อนข้างใกล้เคียงกับ *Alpheus rapacida* ซึ่งจะมีจุดต่างคือ ขนาดของจุดสี น้ำตาลบนปล้องที่สีของลำตัวซึ่งจุดของ *A. rapacida* จะใหญ่กว่าของ *Alpheus sp.* โดยระดับความแตกต่างของสายนิวคลีโอไทด์ *Alpheus sp.* กับ *A. rapacida* มีค่าเท่ากับ 0.03 ถึง 0.04 (ร้อยละ 3 ถึง 4) และแตกต่างจาก *A. serenei* ถึง 0.20 (ร้อยละ 20)

นอกจากนี้ แผนภูมิความสัมพันธ์ทางวิัฒนาการ ที่สร้างจากทั้งแบบ Maximum Likelihood (ภาพที่ 7) และ Minimum Evolution (ภาพที่ 8) ยังแสดงให้เห็นว่า *Alpheus* sp. มีความใกล้ชิดทาง พันธุกรรมใกล้กับ *A. rapacida* มากกว่า *A. serenie* (ค่า bootstrap = 100%)

การจัดกลุ่มด้วยวิธีที่แตกต่างกัน (Maximum Likelihood และ Minimum Evolution) ให้ผล คล้ายกันโดยมีการแบ่งกลุ่มกุ้งดีดขัน สกุล *Alpheus* ได้ 2-3 กลุ่ม (ภาพที่ 7 และ 8) โดยตัวอย่างที่สเปซีฟิค เดียวกันจะเกากรุ่มเดียวกัน (ค่า bootstrap = 99-100%) อย่างไรก็ตามตำแหน่งของการจัดกลุ่ม ของบางชนิด (โดยเฉพาะกลุ่มของ *Alpheus* sp. กับ *A. rapacida*) ผันแปรตามวิธีการสร้างแผนภูมิฯ

แผนภูมิความสัมพันธ์ทางวิัฒนาการ ที่สร้างจากโดยใช้วิธี Maximum Likelihood สามารถจัด กลุ่มในสกุล *Alpheus* ได้ 2 กลุ่มใหญ่คือ

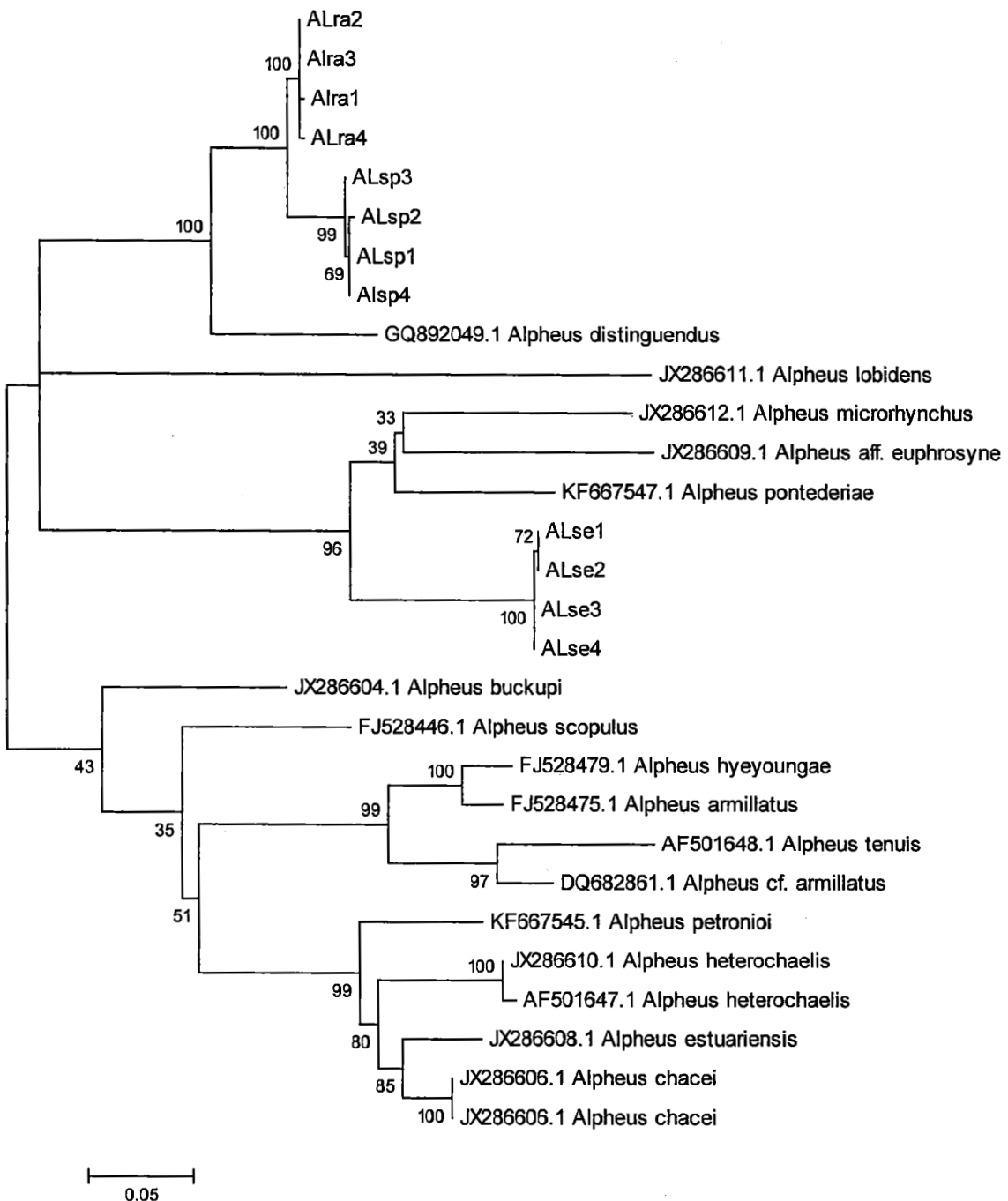
กลุ่มที่ (1) ประกอบด้วยกุ้งดีดขันจากชลบุรีทั้งสามชนิด *A. serenie*, *A. rapacida* และ *Alpheus* sp. อยู่กลุ่มร่วมกับกุ้งดีดขันที่มีรายงานในฐานข้อมูล GenBank คือ *A. microrhynchus*, *A. aff. euphrosyne*, *A. lobidens* และ *A. distingendus* ทั้งนี้ *Alpheus* sp. มีลักษณะทางพันธุกรรม คล้ายกับ *A. rapacida* และ *A. distingendus* มากกว่ากุ้งชนิดอื่นๆ ในกลุ่ม

กลุ่มที่ (2) ประกอบด้วย *Alpheus chacei*, *A. estuariensis*, *A. heterochaelis*, และ *A. petronioi* (Bootstrap ของกลุ่มนี้ค่า 99 %) ร่วมกับ *Alpheus cf. armillatus*, *A. tenuis*, *A. amillatus*, *A. hyeyoungae*, *Alpheus scopulus* และ *A. bukupi* ค่า bootstrap ที่ไม่สูงมากนักใน กลุ่มนี้ (โดยเฉพาะ *A. scopulus* และ *A. bukupi*) น่าจะสะท้อนความคล้ายกันภายในกลุ่ม

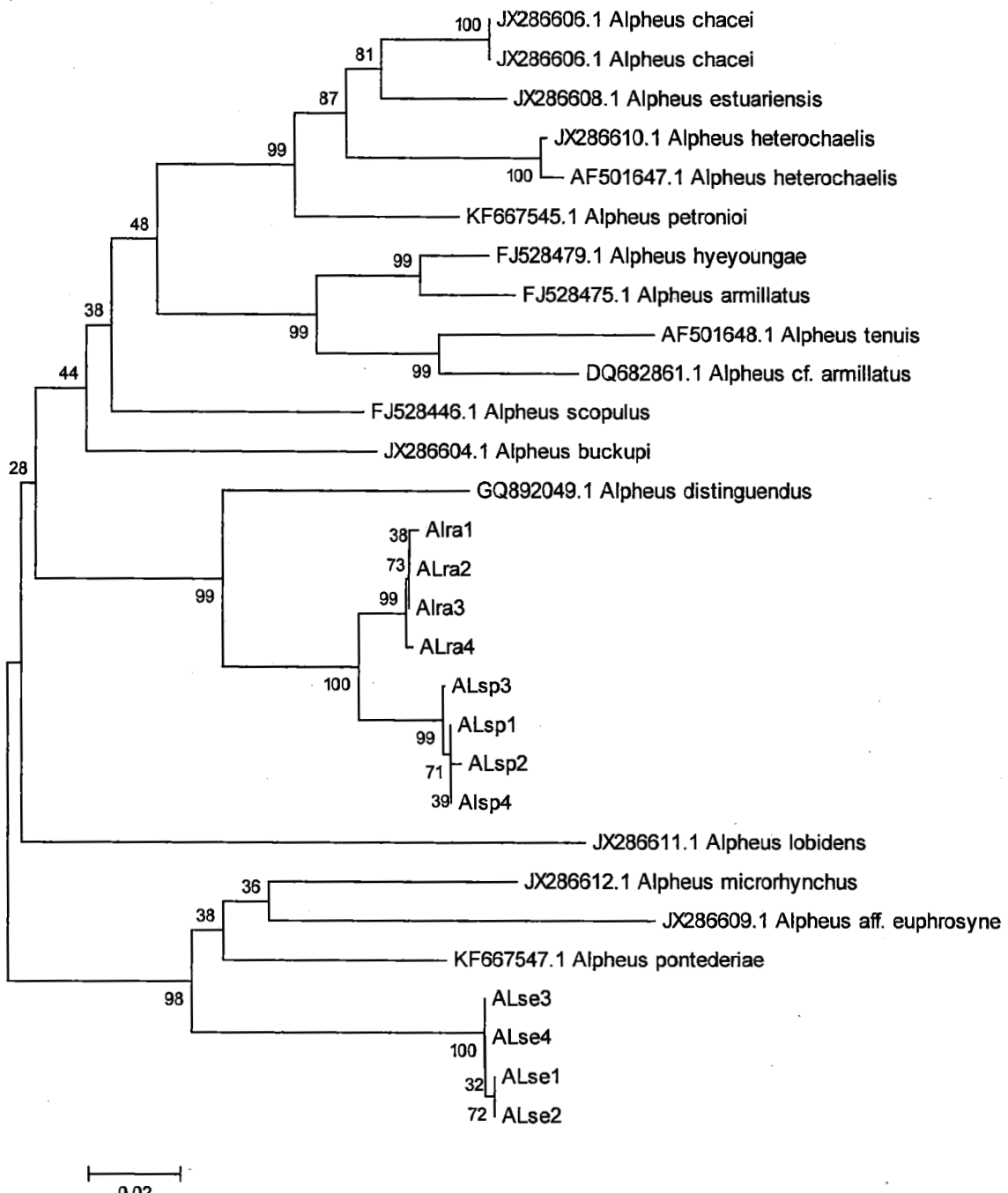
ในขณะที่ แผนภูมิความสัมพันธ์ทางวิัฒนาการ ที่สร้างด้วยวิธี Minimum Evolution สามารถ จัดกลุ่มในสกุล *Alpheus* ได้ 2 กลุ่มใหญ่เช่นกัน แต่ว่ากลุ่ม *Alpheus* sp., *A. rapacida* และ *A. distingendus* กลับคล้ายกับกลุ่มที่ 2 มากกว่ากลุ่มที่ 1 แต่ค่า bootstrap มีค่าต่ำมาก (28) ซึ่งแสดงถึง ความไม่เสถียรของการจัดกลุ่มแบบนี้

ตารางที่ 12 ระยะทางพันธุกรรมระหว่างตัวอย่างต้น *Alpheus* (ແນວຄ່າງເສັ້ນພະຍຸມ) ໂດຍຄໍານາຍຈາກຈຳກັງນາກແຫນ່ນທີ່ນີ້ສືບ
ຮຽນທຳກຸດຕູ້ສາຍ ນິວຕືກໄອທີ່ທີ່ຢືນ 16S rRNA (29 ສາຍ ຫິການຍາ 493 ຄູ່ບສ) ຕ້ວຍໂມເຕຣີ Maximum Composit likelihood ທີ່ມີຄືດສ່ວນຂອງສາຍນິວຕືກໄອທີ່ທີ່ມີມູນ
ການປຶກສິນແບລິກ ສ່ວນຄ່າ Standard error ແລດທະນີເສັ້ນພະຍຸມ

ການປຶກສິນແບລິກ	ສ່ວນຄ່າ Standard error ແລດທະນີເສັ້ນພະຍຸມ
Alra1 (<i>Alpheus rapacida</i>)	0.00 0.00 0.00 0.04 0.04 0.04 0.01 0.01 0.01 0.01 0.02 0.03 0.04 0.05 0.04 0.04 0.04 0.03 0.04 0.04 0.04 0.04 0.04 0.04 0.04
Alra2 (<i>Alpheus rapacida</i>)	0.00 0.00 0.00 0.04 0.04 0.04 0.01 0.01 0.01 0.01 0.02 0.03 0.04 0.05 0.04 0.04 0.04 0.03 0.04 0.04 0.04 0.04 0.04 0.04 0.04
Alra3 (<i>Alpheus rapacida</i>)	0.00 0.00 0.00 0.04 0.04 0.04 0.01 0.01 0.01 0.01 0.02 0.03 0.04 0.05 0.04 0.04 0.04 0.03 0.04 0.04 0.04 0.04 0.04 0.04 0.04
Alra4 (<i>Alpheus rapacida</i>)	0.00 0.00 0.00 0.04 0.04 0.04 0.01 0.01 0.01 0.01 0.02 0.03 0.04 0.05 0.04 0.04 0.04 0.03 0.04 0.04 0.04 0.04 0.04 0.04 0.04
Alse1 (<i>Alpheus serenie</i>)	0.20 0.20 0.20 0.20 0.00 0.00 0.04 0.04 0.04 0.04 0.04 0.04 0.04 0.04 0.04 0.04 0.04 0.04 0.04 0.04 0.04 0.04 0.04 0.05 0.05 0.05
Alse2 (<i>Alpheus serenie</i>)	0.20 0.20 0.20 0.20 0.00 0.00 0.04 0.04 0.04 0.04 0.04 0.04 0.04 0.04 0.04 0.04 0.04 0.04 0.04 0.04 0.04 0.04 0.04 0.05 0.05 0.05
Alse3 (<i>Alpheus serenie</i>)	0.20 0.19 0.19 0.19 0.00 0.00 0.04 0.04 0.04 0.04 0.04 0.04 0.04 0.04 0.04 0.04 0.04 0.04 0.03 0.03 0.04 0.04 0.04 0.05 0.05 0.05
Alse4 (<i>Alpheus serenie</i>)	0.20 0.19 0.19 0.19 0.00 0.00 0.04 0.04 0.04 0.04 0.04 0.04 0.04 0.04 0.04 0.04 0.04 0.04 0.03 0.03 0.04 0.04 0.04 0.05 0.05 0.05
Al.sp1 (<i>Alpheus sp.</i>)	0.03 0.03 0.03 0.03 0.20 0.20 0.20 0.00 0.00 0.00 0.00 0.02 0.03 0.04 0.04 0.04 0.04 0.05 0.04 0.04 0.04 0.04 0.04 0.04 0.04 0.04
Al.sp2 (<i>Alpheus sp.</i>)	0.04 0.03 0.03 0.03 0.20 0.20 0.20 0.00 0.00 0.00 0.00 0.02 0.03 0.04 0.04 0.04 0.04 0.05 0.04 0.04 0.04 0.04 0.04 0.04 0.04 0.04
Al.sp3 (<i>Alpheus sp.</i>)	0.03 0.03 0.03 0.03 0.20 0.20 0.20 0.00 0.00 0.00 0.00 0.02 0.03 0.04 0.04 0.04 0.04 0.05 0.04 0.04 0.04 0.04 0.04 0.04 0.04 0.04
Al.sp4 (<i>Alpheus sp.</i>)	0.03 0.03 0.03 0.03 0.20 0.20 0.20 0.00 0.00 0.00 0.00 0.02 0.03 0.04 0.04 0.04 0.04 0.05 0.04 0.04 0.04 0.04 0.04 0.04 0.04 0.04
GB892069.1 <i>Alpheus distinguendus</i>	0.09 0.09 0.09 0.09 0.21 0.21 0.21 0.10 0.11 0.10 0.04 0.03 0.03 0.04 0.04 0.04 0.04 0.05 0.04 0.04 0.04 0.04 0.04 0.04 0.04 0.04
JX286604.1 <i>Alpheus buckupi</i>	0.16 0.16 0.16 0.16 0.18 0.18 0.18 0.16 0.16 0.16 0.16 0.16 0.16 0.16 0.16 0.16 0.16 0.16 0.16 0.16 0.16 0.16 0.16 0.16 0.16 0.16
JX286606.1 <i>Alpheus chacei'</i>	0.20 0.19 0.19 0.20 0.19 0.19 0.19 0.19 0.19 0.19 0.20 0.19 0.19 0.19 0.19 0.19 0.19 0.19 0.19 0.19 0.19 0.19 0.19 0.19 0.19 0.19
KF667545.1 <i>Alpheus petroni</i>	0.17 0.17 0.17 0.17 0.18 0.18 0.18 0.18 0.18 0.18 0.19 0.19 0.19 0.19 0.19 0.19 0.19 0.19 0.19 0.19 0.19 0.19 0.19 0.19 0.19 0.19
KF667547.1 <i>Alpheus pointedice</i>	0.18 0.18 0.18 0.18 0.13 0.13 0.13 0.13 0.13 0.13 0.19 0.19 0.19 0.19 0.19 0.19 0.19 0.19 0.19 0.19 0.19 0.19 0.19 0.19 0.19 0.19
JX286612.1 <i>Alpheus microsynchus</i>	0.20 0.20 0.20 0.20 0.15 0.15 0.15 0.15 0.15 0.15 0.21 0.21 0.21 0.21 0.21 0.21 0.21 0.21 0.21 0.21 0.21 0.21 0.21 0.21 0.21 0.21
JX286609.1 <i>Alpheus aff. euprosyne</i>	0.24 0.24 0.24 0.24 0.14 0.14 0.14 0.14 0.14 0.14 0.26 0.26 0.26 0.26 0.26 0.26 0.26 0.26 0.26 0.26 0.26 0.26 0.26 0.26 0.26 0.26
JX286610.1 <i>Alpheus heterochelis</i>	0.22 0.21 0.21 0.21 0.18 0.18 0.18 0.18 0.18 0.18 0.21 0.22 0.22 0.22 0.22 0.22 0.22 0.22 0.22 0.22 0.22 0.22 0.22 0.22 0.22 0.22
JX286606.1 <i>Alpheus chacei</i>	0.20 0.19 0.19 0.20 0.19 0.19 0.19 0.19 0.19 0.19 0.20 0.19 0.19 0.19 0.19 0.19 0.19 0.19 0.19 0.19 0.19 0.19 0.19 0.19 0.19 0.19
AF501647.1 <i>Alpheus heterochelis</i>	0.22 0.22
JX286608.1 <i>Alpheus estuarialis</i>	0.18 0.19 0.19 0.19 0.20
FJ528446.1 <i>Alpheus scopulus</i>	0.15 0.15 0.15 0.15 0.18 0.18 0.18 0.15 0.15 0.15 0.15 0.15 0.15 0.15 0.15 0.15 0.15 0.15 0.15 0.15 0.15 0.15 0.15 0.15 0.15 0.15
FJ528479.1 <i>Alpheus hyeyoungae</i>	0.19 0.19 0.19 0.19 0.23 0.23 0.23 0.23 0.23 0.23 0.24 0.24 0.24 0.24 0.24 0.24 0.24 0.24 0.24 0.24 0.24 0.24 0.24 0.24 0.24 0.24
JX286611.1 <i>Alpheus lobidens</i>	0.21 0.21 0.21 0.21 0.23
FJ528475.1 <i>Alpheus armillatus</i>	0.19 0.19 0.19 0.19 0.23 0.23 0.23 0.23 0.23 0.23 0.24 0.24 0.24 0.24 0.24 0.24 0.24 0.24 0.24 0.24 0.24 0.24 0.24 0.24 0.24 0.24
AF501648.1 <i>Alpheus tenuis</i>	0.23 0.23
DQ882861.1 <i>Alpheus cf. armillatus</i>	0.21 0.21 0.21 0.21 0.25 0.25 0.25 0.25 0.25 0.25 0.22 0.22 0.22 0.22 0.22 0.22 0.22 0.22 0.22 0.22 0.22 0.22 0.22 0.22 0.22



ภาพที่ 7 แผนภูมิแสดงความสัมพันธ์ทางวิถีทางการของกุ้งดีดขันสกุล *Alpheus* ที่สร้างด้วยใช้วิธีการ Maximum Likelihood จากข้อมูลลำดับนิวคลีโอไทด์บางส่วนของยีน 16S rRNA บนไมโครคอนเดรีย Hasegawa-Kishino-Yano (HKY+I+G, Hasegawa et al. 1985) ซึ่งยอมให้มีการทำบล็อกที่ไม่มีความแปรปรวน ซึ่งแผนภูมิที่แสดงมีค่า log likelihood มากที่สุด (-2979.6658) ใช้ข้อมูลทั้งสิ้น 493 ตำแหน่ง เปอร์เซ็นต์สนับสนุนการจัดกลุ่ม คือร้อยละของแผนภูมิที่ได้จากการสุ่มช้ำ (bootstrap) 1000 ครั้ง แผนภูมิเริ่มต้นสำหรับการหาแผนภูมิที่ดีที่สุดทำโดยใช้แนวทาง heuristic search และสร้างโดยวิธีการ Neigbor-Join หรือ BIONJ ที่ใช้ข้อมูลระยะห่างทางพันธุกรรมของคู่ตัวอย่าง คำนวณโดย Maximum Composit matrix



ภาพที่ 8 แผนภูมิแสดงความสัมพันธ์ทางวิวัฒนาการของกุ้งดีดขันสกุล *Alpheus* ที่สร้างจากลำดับนิวคลีโอไทด์บางส่วนของยีน 16S rRNA บนไมโทคอนเดรีย ด้วยใช้วิธีการ Minimum Evolution โดยเดลที่ใช้คือ Maximum Composite likelihood โดยใช้ข้อมูล 493 ตำแหน่ง ค่าสนับสนุนการจัดกลุ่ม คือร้อยละของแผนภูมิที่ได้จากการสุ่มช้ำ (bootstrap) 1000 ครั้ง สร้างแผนภูมิเริ่มต้นโดยวิธี Neighbor-Joining การหาแผนภูมิฯ ใช้วิธี Close-Neighbor-Interchange (CNI) algorithm

อภิปรายผลการศึกษา

เครื่องหมายพันธุกรรมที่เลือกใช้ในการศึกษารังนี้ โดยเฉพาะอย่างยิ่งบริเวณบางส่วนของยีน COI และ 16S rRNA บนไมโทคอนเดรีย มีประสิทธิภาพในการบ่งชี้ความแตกต่างระดับชนิดได้ดี และสามารถนำมาใช้ในการตอบโจทย์ทางอนุกรมวิธานที่ค่อนข้างหลากหลาย ความยาวของชิ้นดีเอ็นเอ COI และ 16S rRNA ที่ได้จากการเพิ่มปริมาณดีเอ็นเอโดยไฟเรเมอร์ในการศึกษาในครั้งนี้ (ประมาณ 500-620 คู่เบสเมื่อมีการตัดสายนิวคลีโอไทด์ให้เท่ากับสายที่มีรายงานอยู่ในฐานข้อมูล GenBank) เพียงพอต่อการวิเคราะห์ความสัมพันธ์ทางพันธุกรรมร่วมกับดีเอ็นเอตำแหน่งเดียวกันที่อยู่ในฐานข้อมูล GenBank ในขณะที่ยีน Histone H3 ที่ใช้มีขนาดค่อนข้างสั้น (ประมาณ 297-328 คู่เบส) จึงทำให้ไม่สามารถอธิบายความแปรปรวนระดับสปีชีส์ได้เท่าที่ควร

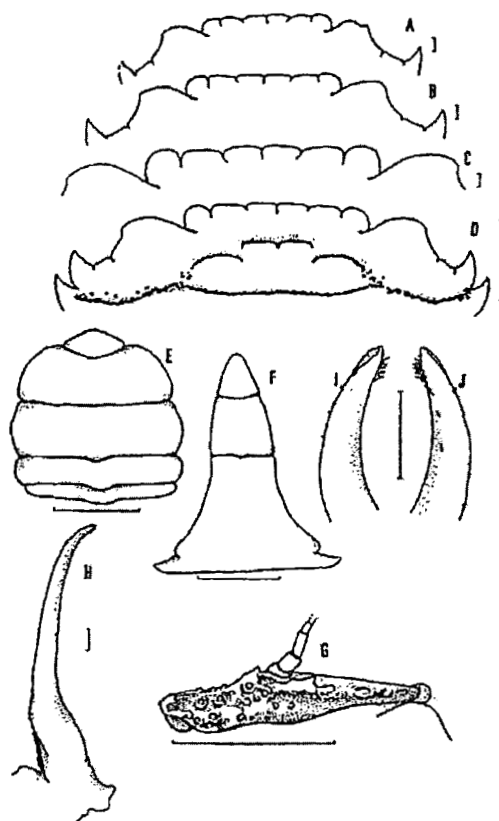
ความแปรปรวนทางพันธุกรรมของปูม้าหิน

ปูม้าหิน *Thalamita prymna* และ *T. danae* ที่สามารถพบริถูกต้องที่สุดในพื้นที่แบบชายฝั่งทั้งในอ่าวไทย อันดามัน และมหาสมุทรอินเดีย (สุรินทร์ มัจฉาชีพ, 2532) นั้น ยังมีปัญหาด้านอนุกรมวิธานที่อาศัยสัณฐานอยู่มาก เนื่องจากเกณฑ์ในการแยกความแตกต่างจากลักษณะสัณฐานที่กำหนดไว้ใน Wee and Ng (1995) ค่อนข้างมีความคลุมเครือ และบางลักษณะจะพบเฉพาะในเพศผู้เท่านั้น (เช่น ลักษณะปลายของ Gonopod, ตารางที่ 12) นอกจากนี้สัณฐานที่ปรากฏอาจมีความแปรปรวนอันเนื่องมาจากการต่างสถานที่เก็บตัวอย่างและวิธีการศึกษาของ Wee and Ng (1995) โดย Wee and Ng (1995) เก็บตัวอย่างจากประเภทมาเลเซียและสิงคโปร์เท่านั้น และไม่ได้ใช้การวิเคราะห์ลำดับดีเอ็นเอร่วมด้วยในการยืนยัน สปีชีส์

ตารางที่ 12 รูปร่างลักษณะภายนอกที่แตกต่างกันระหว่างปูม้าหิน *T. prymna* และ *T. danae* (อิงอุร แสงพัฒนาพงศ์, 2556)

ลักษณะภายนอก	<i>Thalamita prymna</i> (ภาพที่ 9)	<i>Thalamita danae</i> (ภาพที่ 10)
1. Basal antennal segment (ส่วนฐานหนวด)	ส่วนของฐานหนวดมีลักษณะเป็นหนามที่แหลมหลายอัน (เป็นลักษณะร่วมกับ <i>Thalamita carasma</i>) ส่วนของฐานหนวดมีหนาม 2 อันเชื่อมติดกัน	ส่วนของฐานหนวดมีลักษณะเรียบหรือเป็นลักษณะรุขระ
2. Submedian lobe (ส่วนของ Frontal border)	-	ความกว้างของ Submedian lobe ไม่แตกต่างจากความกว้างของ Median lobe อย่างชัดเจน
3. Frontal lobe	Frontal lobe ชิดกันมาก	-
4. Lateral lobe	Lateral lobe ห่างไกลจาก Submedian	-

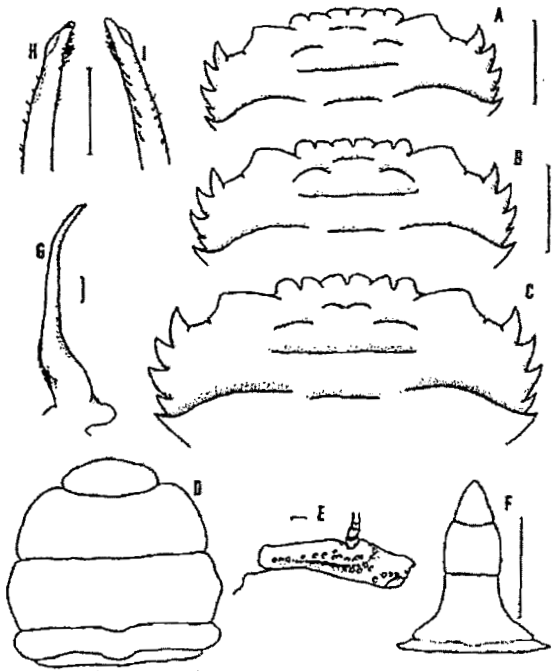
5. Mesogastric ridge	-	Mesogastric ridge ไม่แยกกัน
6. Carapace ridge	มี Carapace ridge บุนชัดเจนและมีเม็ดเล็กๆ ساกรๆ	-
7. Epistomal ridge	พบด้านล่างของ Epistomal ridge มีลักษณะโพรง	-
8. G ₁ Distal tip	G ₁ Distal tip โค้งอย่างชัดเจน	G ₁ Distal tip มีลักษณะเรียวเล็ก โค้งอย่างน้อย
9. G ₁ basal lobe	แนวด้านข้างของ G ₁ basal lobe มีลักษณะเว้า	แนวด้านข้างของ G ₁ basal lobe มีลักษณะกลมนูน
10. Manus ของก้ามหนีบ	ผิวของ Manus ด้านในถึงล่างมีลักษณะเรียบ	-



(ที่มา: Wee and Ng, 1995)

ภาพที่ 9 รูปร่างลักษณะภายนอกที่สังเกตได้ของปูม้าหิน *Thalamita prymna*

A, B, C และ D = front dorsal surface; E = female abdomen; F = male abdomen;
 G = left basal antennal segment; H = left G₁ abdominal surface; I = apex of left G₁ abdominal surface; J = apex of left G₁ sternal surface



(ที่มา: Wee and Ng, 1995)

ภาพที่ 10 รูปร่างลักษณะภายนอกที่สังเกตได้ของปูม้าหิน *Thalamita danae*

A, B และ C = front dorsal surface; D = female abdomen; E = right basal antennal segment; F = male abdomen; G = left G_1 abdominal surface; H = apex of left G_1 abdominal surface; I = apex of left G_1 sternal surface

ผลการศึกษาจากยีน COI, 16S rRNA และ Histone H3 บ่งชี้ว่าปูม้าหินที่คาดว่าจะเป็นสองสปีชีส์ นั้นไม่มีความแตกต่างกันทางพันธุกรรม ข้อมูลนิวคลีโอไทด์ดังกล่าวเป็นไปในทิศทางเดียวกับ การศึกษาความแตกต่างโดยสันฐานของ อิงอร เองพัฒนาพงศ์ (2556) ที่วิเคราะห์ความแตกต่างของ สัดส่วนระยะค์ อาศัยวิธีการบางส่วนของ อำนวย จารัส และประดิษฐ์ แสงทอง (2550) และไม่พบความ แตกต่างกันในกลุ่มตัวอย่างปูม้าหินทั้งสองกลุ่ม จึงเป็นไปได้ว่าปูม้าหิน (*T. pryma/danae*) ที่หมู่เกาะ แสมสารประกอบไปด้วยปูเพียงสปีชีส์เดียว และน่าจะเป็น *T. danae* (ประมาณจากผลที่เทียบกับ ฐานข้อมูล GenBank) อาจจำเป็นต้องมีการตรวจสอบระหว่างสถานที่ในประเทศไทย และใน ต่างประเทศ รวมถึงตรวจสอบความถูกต้องของการเรียกชื่อของตัวอย่างในฐานข้อมูล GenBank

สายนิวคลีโอไทด์บางส่วนของยีน COI และ 16S rRNA ที่ใช้ในการศึกษาในครั้งนี้มีประสิทธิภาพ ในการแยกชนิดปูในสกุล *Thalamita* ได้หลายชนิด ซึ่งระดับความแตกต่างของยีน COI ระหว่างสปีชีส์ใน สกุลนี้มีค่าระยะห่างทางพันธุกรรมอยู่ในช่วง 0.10-0.19 (10-19%) ซึ่งเป็นระดับที่พบในการศึกษาของ Silva et al. (2011) Chu, Tong & Chan (1998) และ Yamindago, Senanan & Tangkrock-Olan (2013) ที่มีการวิเคราะห์ความหลากหลายทางพันธุกรรมของปูหลายสกุล (ตารางที่ 13) ส่วนยีน 16S rRNA มีความแปรปรวนของสายนิวคลีโอไทด์น้อยกว่ายีน COI โดยระยะห่างทางพันธุกรรม ระหว่างสปีชีส์ในสกุล *Thalamita* เท่ากับ 0.04-0.09 (4-9%)

ตารางที่ 13 ค่าระยะห่างทางพันธุกรรม K2P ภายในชนิดเดียวกัน ระหว่างสปีชีส์ในจีนสเดียวกัน และระหว่างสกุลในแฟมิลีเดียกันของยีน COI ในการศึกษาครั้งนี้ และงานวิจัยที่เกี่ยวข้อง

ค่าระยะห่างทางพันธุกรรม K2P ภายในสปีชีส์เดียวกัน			
การศึกษาครั้งนี้ (ปูม้าหินสกุล <i>Thalamita</i>)	Silva et al. (2011) (กลุ่มสัตว์ decapoda)	Chu et al. (1998) (ปูสกุล <i>Charybdis</i>)	Yamindago et al. (2013) (ปูสกุล <i>Metopograpsus</i>)
0	0.0285-0.01375	0.02	0.0-0.019
ค่าระยะห่างทางพันธุกรรม K2P ระหว่างสปีชีส์ในจีนสเดียวกัน			
0.10-0.19	0.064%-0.21%	0.049%-0.13	0.087-0.12
ค่าระยะห่างทางพันธุกรรม K2P ระหว่างจีนสภายในแฟมิลีเดียกัน			
0.14-0.21%	0.114-0.25%	0.146%	

ตารางที่ 14 ค่าระยะห่างทางพันธุกรรม ภายในสปีชีส์เดียวกัน ระหว่างสปีชีส์ในจีนสเดียวกัน และระหว่างสกุลในแฟมิลีเดียกันของยีน 16S rRNA ในการศึกษาครั้งนี้ และงานวิจัยที่เกี่ยวข้อง

ค่าระยะห่างทางพันธุกรรมภายในสปีชีส์เดียวกัน					
การศึกษานี้ ปูม้าหิน <i>Thalamita</i>	การศึกษานี้ กุ้งดีดขัน <i>Alpheus</i>	การศึกษานี้ ปูลม <i>Ocypode</i>	Yamindago et al. (2013) (ปูสกุล <i>Metopograpsus</i>)	Shih et al. (2007) (กุ้งน้ำจืดกลุ่ม <i>Neocaridina</i>)	Mathews et al. (2006) (กุ้งดีดขันสกุล <i>Alpheus</i>)
0-0.01	0.003-0.025	0-0.01	0-0.019	0-0.012	0.005-0.062
ค่าระยะห่างทางพันธุกรรมระหว่างสปีชีส์ในจีนสเดียวกัน					
0.11-0.19	0.09-0.16	0.09-0.19	0.058-0.079	0.024-0.076	0.048

ความแปรปรวนทางพันธุกรรมของกุ้งดีดขัน

เครื่องหมายทางพันธุกรรมของยีน 16S rRNA มีความสามารถในการบ่งชี้ความแตกต่างทางพันธุกรรมของครอบครัว Alpheidae สกุล *Alpheus* ได้โดยที่สายนิวคลีโอไทด์ของยีน 16S rRNA นี้มีความยาวของสาย นิวคลีโอไทด์ที่ใหม่ขนาด 477 คู่เบส และ 482 คู่เบส จากสายนิวคลีโอไทด์ 1,488 คู่เบส (National Center for Biotechnology Information, 2013) ซึ่งมีขนาดที่ใกล้เคียงกับที่ใช้ในการวิจัยกุ้งดีดขันของ Methews (2002) ซึ่งมีขนาด 492 คู่เบส

การศึกษาของ Zardoya and Meyer (1996) พบรูปแบบความแปรปรวนของยีนทั้งหมดนี้ไม่โตก่อนเดรีย มีความสัมพันธ์เชิงบวกกับระดับความแตกต่างทางวิถีของการระหว่างกลุ่มนุกรมิรานที่แยกจากกันน้อยกว่า 100 ล้านปี ยืนยันกลุ่ม เช่น ND 2, ND 4, ND 5 (NADH Subunit 2, 4, 5 ตามลำดับ), COI และ 16S rRNA มีความสัมพันธ์เชิงบวกกับยีนอื่นๆ บนไม่โตก่อนเดรีย (Zardoya and Meyer, 1996) จึงเหมาะสมสำหรับการศึกษาเพื่อตรวจสอบความสัมพันธ์ทางวิถีของการของกุ้งดีดขันภายในสกุล *Alpheus* ได้

การวิเคราะห์นิวคลีโอไทด์ของยีน 16S rRNA ใน การศึกษาครั้งนี้สามารถตรวจสอบความแตกต่างของสปีชีส์ของกุ้งดีดขัน สกุล *Alpheus* ได้โดย *Alpheus sp.* น่าจะต่างจาก *A. rapacida* ซึ่งค่าระยะห่างทางพันธุกรรมที่คำนวณได้ของทุกหน่วยอนุกรมวิธานที่สูงกว่าระดับชนิดมีค่าร้อยละ 3 ซึ่งเป็นระดับ 13 เท่าของความแตกต่างภายในชนิดโดยระยะห่างทางพันธุกรรมภายในชนิดมีค่าอยู่ที่ 0.0-0.02 (ตารางที่ 12) ซึ่งสอดคล้องกับงานวิจัยในกลุ่มครัสเตเชียนอื่นหลายชนิด (ตารางที่ 14)

ความสัมพันธ์ทางวิวัฒนาการภายในสกุล *Alpheus*

การจัดเรียงของลำดับนิวคลีโอไทด์บางส่วนของยีน 16S rRNA ของกุ้งดีดขันแต่ละชนิดโดยลำดับคู่เบสมีลำดับตั้งแต่ 172-222 ซึ่งเป็นบริเวณที่มีความแตกต่างกันชัดเจนที่สุดในการใช้จำแนกความแตกต่างของชนิด

ผลการวิเคราะห์ Phylogenetic Tree ทั้งสามวิธีคือ Maximum Likelihood, Neighbor-Joining Maximum และ Maximum Parsimony โดย *A. rapacida* กับ *Alpheus sp.* ถูกจัดให้อยู่ในกลุ่มเดียวกัน และ *A. serenie* ถูกแยกออกจากทั้งสองสปีชีส์ แต่วิธีการวิเคราะห์ความสัมพันธ์ทางวิวัฒนาการที่แตกต่างกันอาจให้รูปแบบ Phylogenetic Tree ที่แตกต่างกันของ Maximum Parsimony มีการจัดกลุ่มที่แตกต่างจาก Maximum Likelihood และ Neighbor-Joining เนื่องจาก

Phylogenetic Tree ที่ใช้นิวคลีโอไทด์ของยีน 16S rRNA โดยวิธีการสร้างทุกแบบสนับสนุนความใกล้เคียงกับทางวิวัฒนาการของ *A. rapacida* และ *Alpheus sp.* ซึ่งสอดคล้องลักษณะสัณฐานของกุ้งทั้งสองสปีชีส์ที่มีความแตกต่างกันเพียงเล็กน้อยเท่านั้น เป็นไปได้ว่าชนิดทั้งสองเพิ่งแยกกันได้ไม่นาน (อาจมีปัจจัยชีวิทยาของที่ทำให้กุ้งสองชนิดนี้ไม่สามารถผสมพันธุ์กันได้) นอกจากนี้ *A. rapacida* - *Alpheus sp.* ยังมีความแตกต่างจาก *A. serenie* อีกด้วยซึ่งเมื่อพิจารณาปัจจัยทางชีวิทยาบางประการ เช่น แหล่งที่อยู่อาศัยพบว่ากุ้ง *A. rapacida*, *A. serenie* และ *Alpheus sp.* พบริเวณที่ติดโคลนเหมือนกันและเมื่อเปรียบเทียบความลึกและความคุ้มของบริเวณที่กุ้งดีดขันอาศัย *A. rapacida* และ *Alpheus sp.* พบระดับความลึก 56 เมตรมีความคุ้มต่ำ แต่ *A. serenie* พบระดับความลึก 62 เมตรซึ่งมีความคุ้มสูงกว่า

กุ้งดีดขันจากต่างประเทศที่นำมาเปรียบเทียบ *A. distinguendus*, *A. scopulus* จากที่มีความใกล้เคียงกับ *A. rapacida* โดยจากข้อมูลที่พบในพื้นที่เทียบอินโดแปซิฟิก ทะเลแดง และ *A. serenie* มีความใกล้ชิด *A. microrhynchus* และ *A. aff. euphrosyne* พบรูปในพื้นที่ อินโดนีเซีย และ สิงคโปร์มีปัจจัยในลักษณะของแหล่งที่อยู่ใกล้เคียงกันมากกับกุ้งที่พบในจังหวัดชลบุรี (Dora et al., 1982) ซึ่งสะท้อนให้เห็นว่าความแตกต่างของแหล่งที่อยู่ ระดับความลึก มีผลต่อการแพร่กระจายของกุ้งดีดขันแต่ละชนิดร่วมกับลักษณะพื้นที่ของทะเล ความเค็ม แหล่งอาหารมีบทบาทร่วมด้วย ทำให้แต่ละบริเวณมีชนิดของกุ้งดีดขันที่อาศัยอยู่แตกต่างกัน ซึ่ง *A. rapacida* กับ *Alpheus sp.* มีความสัมพันธ์เชิงวิวัฒนาการกับ *A. buckupi*, *A. distinguendus* และ *A. scopulus* จากอินโดแปซิฟิก และ *A. serenie* มีความใกล้ชิดกับทางวิวัฒนาการกับ *A. microrhynchus* และ *A. aff. euphrosyne* ที่อยู่บริเวณอินโดนีเซีย และ สิงคโปร์ เช่นกัน (Dora et al., 1982) ซึ่งส่วนมากกุ้งดีดขันจะไม่ชอบบริเวณน้ำจืดเมื่อผ่านตกหนักจะเริ่มอพยพไปบริเวณที่มีความลึกเพิ่มขึ้นซึ่งอาจเป็นปัจจัยสำคัญในการแพร่กระจายในรุ่นลูกออกสู่ทะเลแล้วถูกกระแสน้ำพัดไปแพร่กระจายยังที่อื่นๆ (Dora et al., 1982) ทำให้ลักษณะภายนอกมีความแตกต่างกัน

เพื่อปรับตัวในการดำรงชีวิต เช่น มีลาย ไม่มีลาย สีเข้มตามพื้นผิวดิน เป็นต้น พฤติกรรมการผสมพันธุ์และช่วงเวลาของการสืบพันธุ์ที่แตกต่างกันซึ่งข้อมูลทางชีววิทยาในประเทศไทยยังคงมีข้อมูลที่น้อย ซึ่งควรมีการศึกษาเพิ่มเติมในส่วนของผลการศึกษาความสัมพันธ์ทางวิถีวนากการ เพื่อเป็นข้อมูลพื้นฐานในการจัดลำดับอนุกรมวิธาน เชิงวิถีวนากการ เชิงนิเวศวิทยา และประกอบการวางแผนการจัดการทรัพยากรถูกต้องขึ้นสกุล *Alpheus* ในระยะยาว ซึ่งน่าจะมีการศึกษาต่อไป

ความแตกต่างทางพื้นที่ทางภูมิศาสตร์มีผลต่อการแพร่กระจายของกุ้งสกุล *Alpheus* ดังเช่น งานวิจัยที่ ศึกษาการกุ้งสกุล *Alpheus* ในพื้นที่ทะเลคริเบียน, อ่าวแม็กซิโก, ฟอร์ด้า, บรากิล, และแอซิฟิกตะวันออก ในบริเวณดังกล่าวที่มีความเหมือนและต่างกันมาก (Mathews et. al., 2009) ซึ่งเกิดจากสิ่งกีดขวางทางภูมิศาสตร์ (Geographic Barrier) หรือ ปัจจัยทางชีววิทยา (Biological Barrier) ที่ลดการผสมพันธุ์ระหว่างชนิด (อุทัยรัตน์ ณ นคร, 2543)

สรุปผล

1. บางส่วนของนิวคลีโอไทด์ของยีน COI และ 16S rRNA บนไมโทคอนเดรียลดีเอ็นเอ มีประสิทธิภาพในการแบ่งแยกสปีชีส์ภายในสกุลของสัตว์กลุ่มกุ้งปู ได้ดีกว่ายีน Histone H3 ที่อยู่ในนิวเคลียส
2. ระดับความแปรปรวนของภายในกลุ่มปูไปที่มีรูปแบบสีแตกต่างกัน และปูม้าหิน ของทุกยีนมีค่าต่ำ (\leq เกิน 3%) น่าจะสะท้อนให้เห็นถึงว่าตัวอย่างที่นำมาวิเคราะห์น่าจะจัดเป็นสปีชีส์เดียวกันได้
3. ผลการยืนยันจากดีเอ็นเอทั้งสามตำแหน่ง พบว่าปูม้าหิน *Thalamita danae* และ *T. prymna* ที่รวมกันมีความสามารถที่มีการแยกโดยสัณฐานเบื้องต้นว่าเป็นสองชนิด (ซึ่งมีความแตกต่างที่ความเรียบของฐานหนวด และที่ gonopod ของตัวผู้เท่านั้น) น่าจะเป็นปูม้าเพียงชนิดเดียว และน่าจะเป็น *T. danae*
4. ปูมที่ปรากฏที่หมู่เกาะแสมสารน่าจะมีเพียงชนิดเดียว คือ *Ocypode ceratophthalmus*
5. สำหรับกุ้งดีดขัน *Alpheus* spp. ข้อมูลนิวคลีโอไทด์ของยีน 16S rRNA สามารถแบ่งชนิดได้อย่างชัดเจนโดย *Alpheus* sp. เป็นชนิดที่แตกต่างจาก *A. rapacida* และ *A. serenie*
6. แผนภูมิความสัมพันธ์ทางวิถีวนากการที่แสดงว่า *Alpheus rapacida* มีความสัมพันธ์ใกล้ชิดกับ *Alpheus* sp. หากกว่า *Alpheus serenie*

เอกสารอ้างอิง

- กรมประมง. (2544). สถิติการประมงแห่งประเทศไทย พ.ศ. 2544. กองเศรษฐกิจการประมง กรมประมง กระทรวงเกษตรและสหกรณ์. เอกสารฉบับที่ 10/2545
- วิสุทธิ์ ใบไม้. (2538). สถานภาพความหลากหลายทางชีวภาพในประเทศไทย. สำนักงานกองทุนสนับสนุนการวิจัย (สกว.) กรุงเทพฯ. 254 หน้า.
- สุรินทร์ มัจฉาชีพ. (2532). สัตว์ชายฝั่งทะเลไทย. กรุงเทพฯ: แพร์พิทยา.
- อิงอร เยงพัฒนาพงศ์. (2556). ความแตกต่างทางสัณฐานวิทยาและพันธุศาสตร์ระหว่างปูม้าหินสกุล *Thalamita* 2 ชนิด (*T. prymna* และ *T. danae*). ปัญหาพิเศษ คณะวิทยาศาสตร์ (วาริชศาสตร์). มหาวิทยาลัยบูรพา.
- อำนวย จรด้วง และประดิษฐ์ แสงทอง. (2550). การจำแนกชนิดของปูทะเลในสกุล *Scylla* ด้วยการวิเคราะห์ลำดับดีเอ็นเอเพื่อการเพาะเลี้ยงและการจัดการทรัพยากรที่ยั่งยืน. ใน รายงานวิจัยฉบับสมบูรณ์ สำนักงานประสานงานวิจัยและพัฒนาอุตสาหกรรมเกษตร พีช และสัตว์น้ำ. (หน้า 1-108).
- Aljanabi, S.M. and Martinez, I. (1997) Universal and rapid salt-extraction of high quality genomic DNA for PCR-based techniques. Nucleic Acid Research 25: 4692-4693.
- Avise, J.C. (2004). Molecular markers, natural history, and evolution. (2nd ed.). Massachusetts: Sinauer Associates.
- Felsenstein J. (1985). Confidence limits on phylogenies: An approach using the bootstrap. *Evolution* 39:783-791.
- Hall, T.A. (1999). BioEdit: a user-friendly biological sequence alignment editor and analysis program for Windows 95/98/NT. Nucl. Acids. Symp. Ser. 41:95-98.
- Hasegawa M., Kishino H., and Yano T. (1985). Dating the human-ape split by a molecular clock of mitochondrial DNA. *Journal of Molecular Evolution* 22:160-174.
- Kim, W. and Abele, L.G.. (1990). Molecular Phylogeny of Selected Decapod Crustaceans Based on 18s rRNA Nucleotide Sequences. *Journal of Crustacean Biology* 10: 1-13
- Mathews, L. M. (2006). Cryptic biodiversity and phylogeographical patterns in a snapping shrimp species complex. *Molecular Ecology*. 15, 4049–4063
- Mathews, L. M. and Arthur, A. (2009). Molecular Phylogeny reveals extensive ancient and ongoing radiations in a snapping shrimp species complex (Crustacea, Alpheidae, *Alpheus armillatus*) *Molecular Phylogenetics and Evolution*. 50, 268-281
- Nei M. and Kumar S. (2000). *Molecular Evolution and Phylogenetics*. Oxford University Press, New York.
- Rzhetsky A. and Nei M. (1992). A simple method for estimating and testing minimum evolution trees. *Molecular Biology and Evolution* 9:945-967.
- Saitou N. and Nei M. (1987). The neighbor-joining method: A new method for reconstructing phylogenetic trees. *Molecular Biology and Evolution* 4:406-425.
- Schubart, C.D. and Reuschel, S. (2009). A proposal for a new classification of Portunoidea and Cancroidea (Brachyura: Heterotremata) based on two independent molecular phylogenies. *Biologie 1, Universitdt Regensburg*, pp.533-549.

- Schubart, C.D., Cannicci S., Vannini M., and Fatini S. (2006). Molecular phylogeny of Grapsoid crabs (Decapoda, Brachyura) and allies based on two mitochondrial genes and a proposal for refraining from current Superfamily classification. *Journal Compilation*. Blackwell Verlag, Berlin. JZS. doi : 10.1111/j. 1439-0469.2006.00354.x
- Silva, J. M., Creer, S., Santos, A. D., Costa, A. C., Cunha, M. R., Costa, F. O., & Carvalho, G. R. (2011). Systematic and Evolutionary Insights Derived from mtDNA COI Barcode Diversity in the Decapoda (Crustacea: Malacostraca). *The Creative Commons Attribution License*, 6(5), 1-15.
- Tamura K. (1992). Estimation of the number of nucleotide substitutions when there are strong transition-transversion and G + C-content biases. *Molecular Biology and Evolution* 9:678-687.
- Tamura K. and Nei M. (1993). Estimation of the number of nucleotide substitutions in the control region of mitochondrial DNA in humans and chimpanzees. *Molecular Biology and Evolution* 10:512-526.
- Tamura K., Nei M., and Kumar S. (2004). Prospects for inferring very large phylogenies by using the neighbor-joining method. *Proceedings of the National Academy of Sciences (USA)* 101:11030-11035.
- Tamura K., Stecher G., Peterson D., Filipski A., and Kumar S. (2013). MEGA6: Molecular Evolutionary Genetics Analysis version 6.0. *Molecular Biology and Evolution* 30: 2725-2729.
- Tudge, C.C. and Cunningham, C.W. (2002). Molecular phylogeny of the mud lobsters and mud shrimps (Crustacea : Decapoda : Thalassinidea) using nuclear 18S rDNA and mitochondrial 16S rDNA. *Invertebrate Systematics* 16(6): 839 – 847.
- Wanna, W., Chotigeat, W. and Phongdara, A. (2005). Sequence variations of the first ribosomal internal transcribed spacer of *Penaeus* species in Thailand. *Journal of Experimental Marine Biology and Ecology* 311: 63-78.
- Wee, D.P.C., and Ng, P.K.L. (1995). Swimming Crabs of the Genera *Charybdis* De Haan, 1833, and *Thalamita* Latreille, 1829 (Crustacea: Decapoda: Brachyura: Portunidae) From Peninsular Malaysia and Singapore. *The Raffles Bulletin of Zoology*, 1, 1-128.
- Winfrey, M.R., Rott, M.A. and Wortman, A.T. (1994). Unraveling DNA: Molecular Biology for the Laboratory. Prentice-Hall, Inc., New Jersey.
- Yamindago, A., Senanan, W., and Tangkrock-Olan, N. (2012). Verification on Morphological Identification of Grapsid Crabs Genus *Metopograpsus* H. Milne-edwards, 1853 from Chon buri Province Using Partial Sequences of Mitochondrial 16S rRNA, 12S rRNA and Cytochrome c Oxidase Subunit I (COI). *Burapha sci. J*, 2, 181-193.